

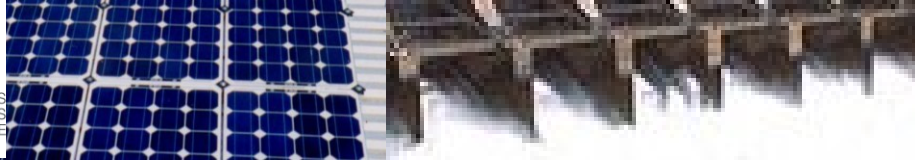
# **FI 2002**

# **ELECTROMAGNETISMO**

## **Clase 14**

## **Magnetostática I**

**LUIS S. VARGAS**  
**Area de Energía**  
**Departamento de Ingeniería Eléctrica**  
**Universidad de Chile**

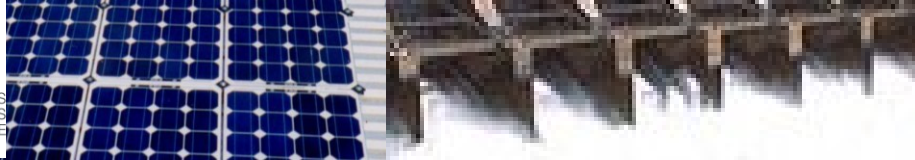


# INDICE

- Introducción
- Fuerza sobre una carga
- Campo magnético
- Campo Linea de corriente infinita
- Campo Distribuciones de corriente
- Campo carga en movimiento
- Campo Magnético Terrestre

Wassily Kandinsky,  
“Amarillo, rojo y azul”,  
1925





# Introducción

$$\frac{\partial \rho}{\partial t} = 0 \Rightarrow \nabla \cdot \vec{J} = 0$$

Corrientes constantes

En magnetostática estudiaremos régimen estacionario, i.e., corrientes constantes



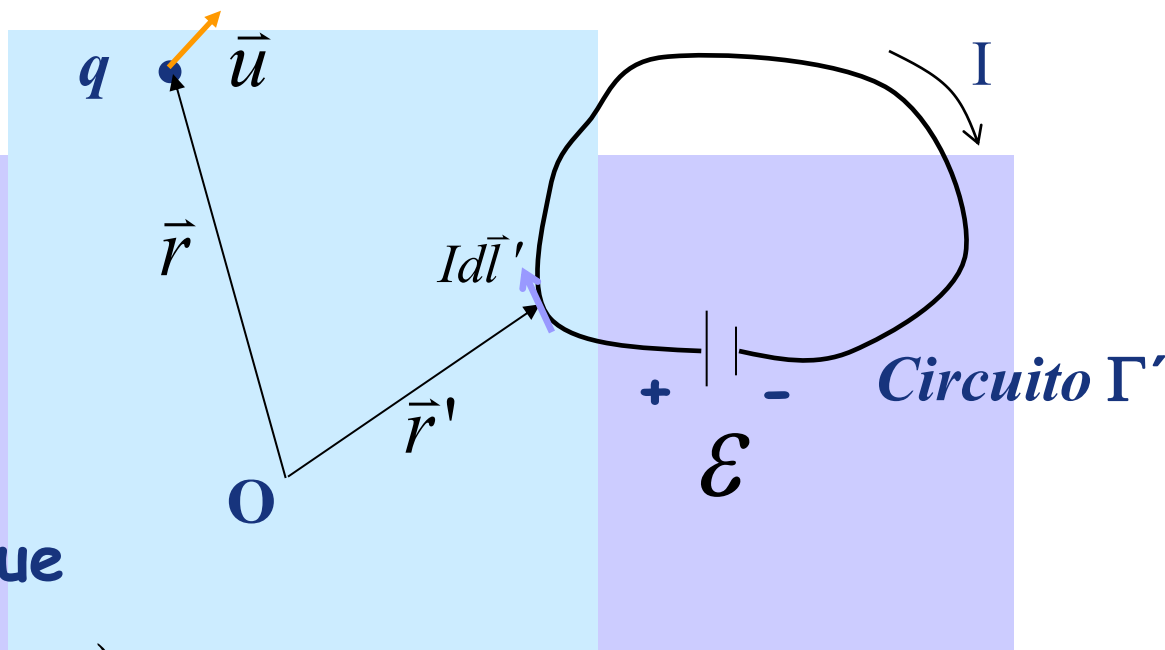
# Fuerza sobre una carga

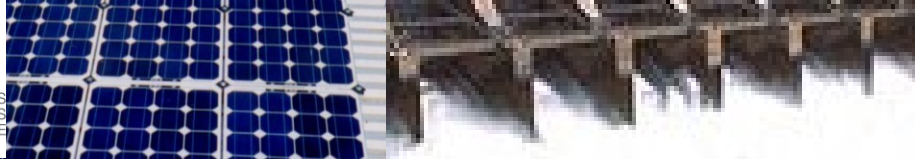
Fuerza sobre  $q$   
que se mueve  
con velocidad  $\vec{u}$

Se encuentra  
experimentalmente que

$$\vec{F} = q\vec{u} \times \oint_{\Gamma'} \frac{\mu_0 I d\vec{l}' \times (\vec{r} - \vec{r}')}{4\pi \|\vec{r} - \vec{r}'\|^3}$$

$\mu_0 = 4\pi \times 10^{-7} [H / m]$  permeabilidad del aire (constante)

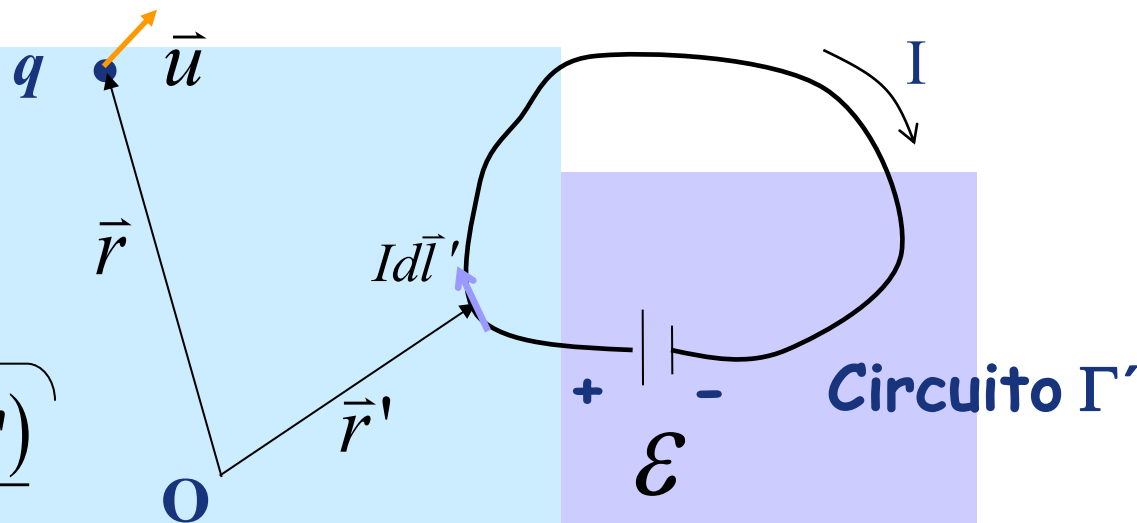




# Campo magnético

Sólo depende  
del circuito  $\Gamma'$

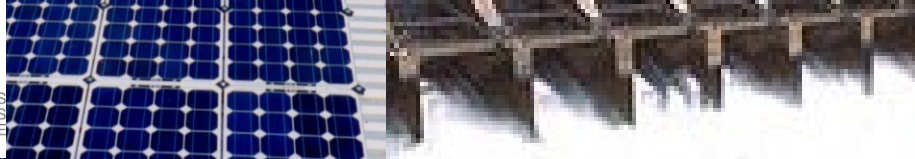
$$\vec{F} = q\vec{u} \times \oint_{\Gamma'} \frac{\mu_0 Id\vec{l}' \times (\vec{r} - \vec{r}')}{4\pi \|\vec{r} - \vec{r}'\|^3}$$



Se define el campo magnético producido por circuito  $\Gamma'$

$$\vec{B} = \oint_{\Gamma'} \frac{\mu_0 Id\vec{l}' \times (\vec{r} - \vec{r}')}{4\pi \|\vec{r} - \vec{r}'\|^3}$$





# Fuerza de Lorentz

## Fuerza de Lorentz

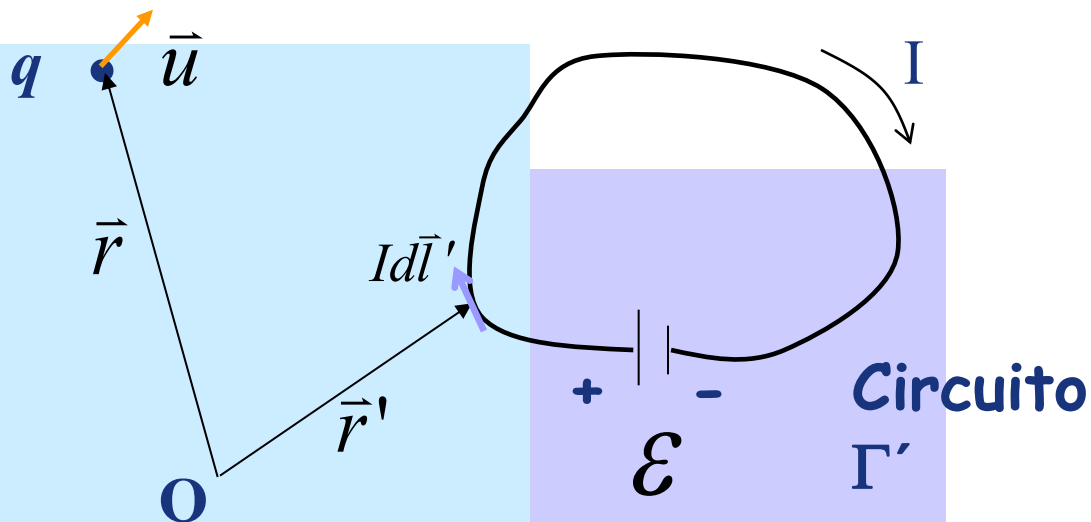
$$\vec{F} = q\vec{u} \times \vec{B}$$

## Unidades del campo

$$[F] = [q][V][B] \Rightarrow [B] = \frac{[F]}{[q][V]} = \frac{[N]}{[C][m/seg]}$$

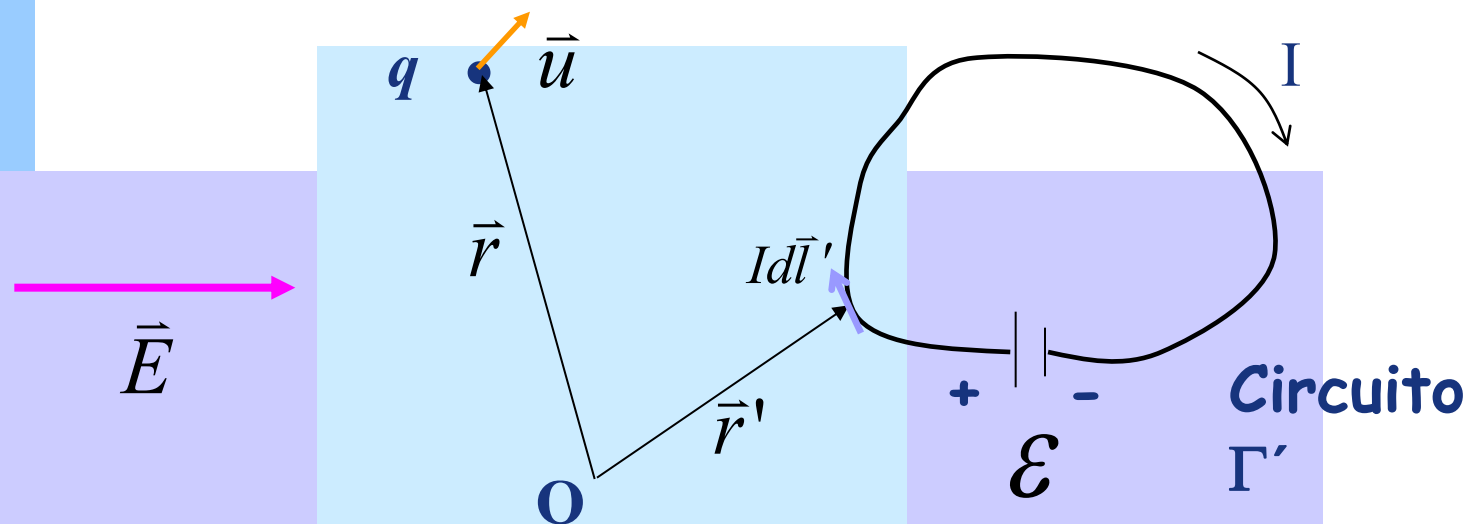
$$1 \text{ Tesla} = [T] = \left[ \frac{N}{C \times m/seg} \right]$$

$$1[T] \text{ Tesla} = 10^4 [G] \text{ Gauss}$$



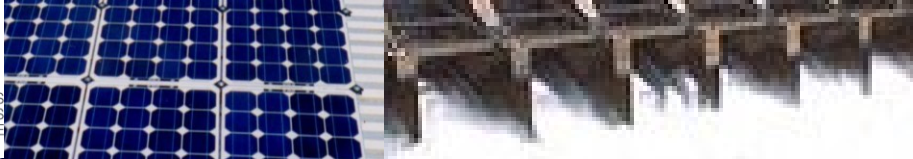


# Fuerza de Lorentz



Cuando además hay un campo eléctrico la Fuerza de Lorentz es

$$\vec{F} = q(\vec{E} + \vec{u} \times \vec{B})$$



# Ejemplo: Fuerza sobre una carga

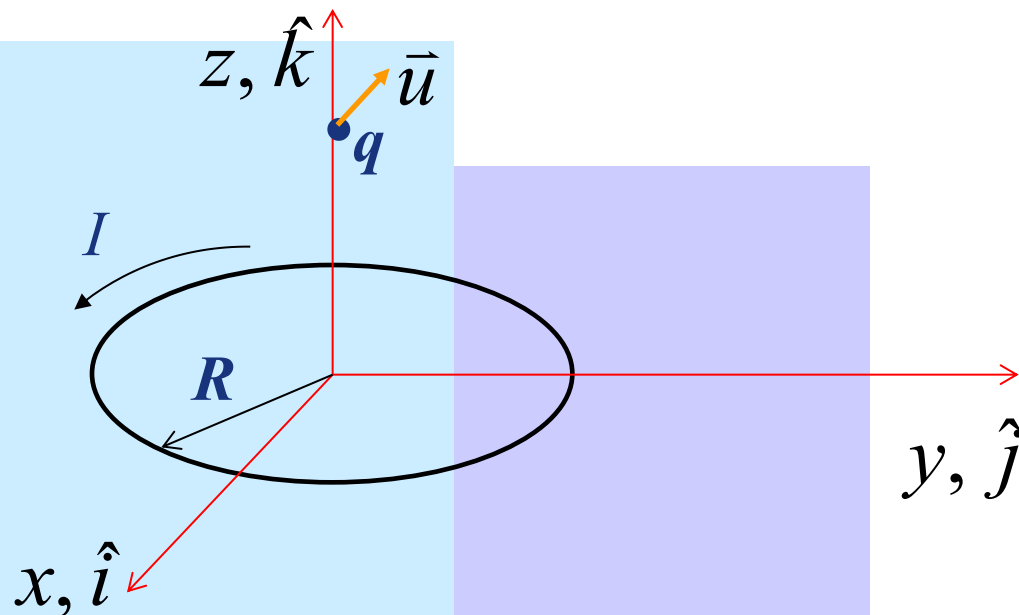
Calcular la fuerza sobre la carga  $q$  en los casos:

$$\vec{u} = 0$$

$$\vec{u} = v_o \hat{k}$$

$$\vec{u} = v_o \hat{j}$$

$$\vec{u} = v_o \hat{i}$$



$$\vec{F} = q\vec{u} \times \vec{B}$$

$$\vec{B} = \oint_{\Gamma'} \frac{\mu_0 I d\vec{l}' \times (\vec{r} - \vec{r}')}{4\pi \|\vec{r} - \vec{r}'\|^3}$$

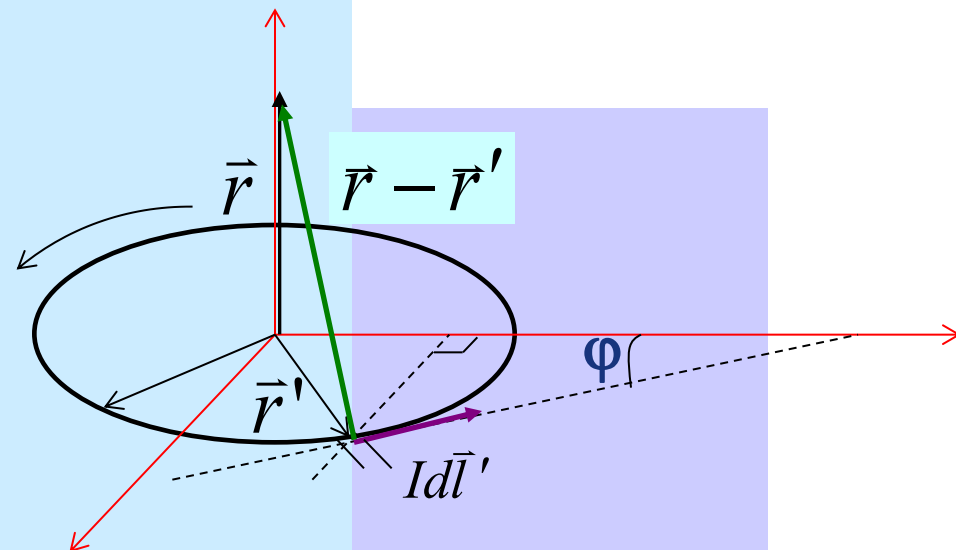




# Regla de la mano derecha

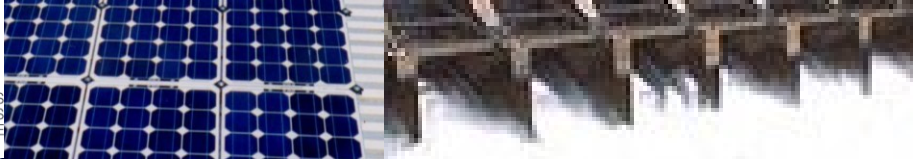
$$\vec{B} = \oint_{\Gamma'} \frac{\mu_0 I d\vec{l}' \times (\vec{r} - \vec{r}')}{4\pi \|\vec{r} - \vec{r}'\|^3}$$

$$d\vec{B} = \frac{\mu_0 I d\vec{l}' \times (\vec{r} - \vec{r}')}{4\pi \|\vec{r} - \vec{r}'\|^3}$$



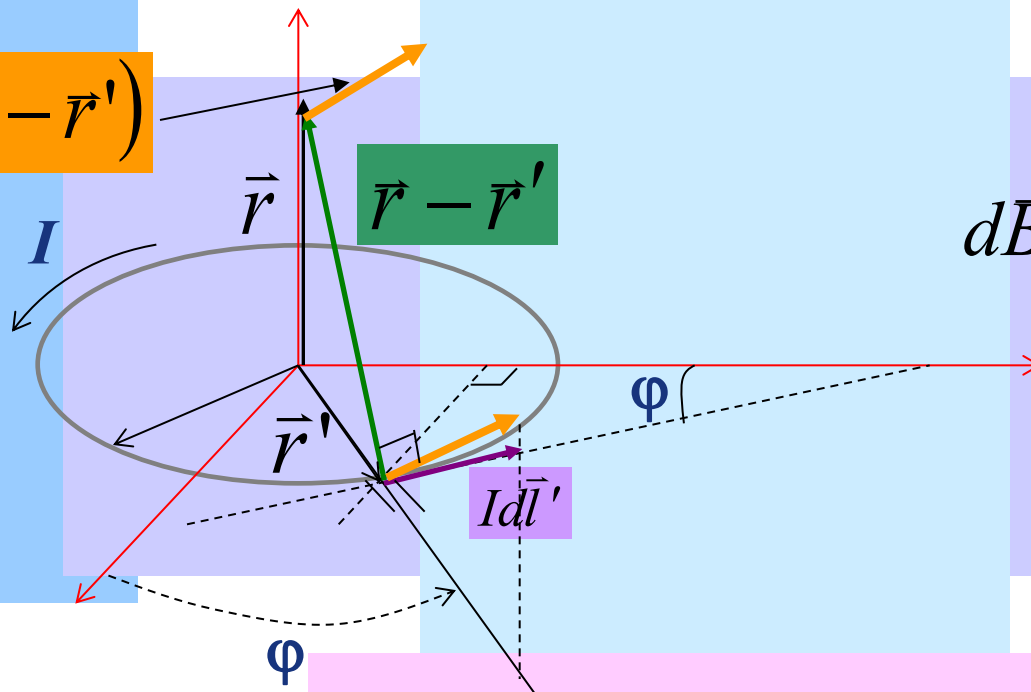
Dirección de campo está dado por el producto

$$Id\vec{l}' \times (\vec{r} - \vec{r}')$$

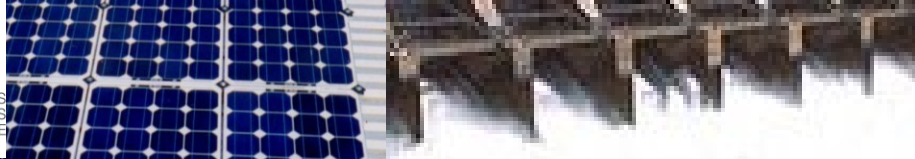


# Regla de la mano derecha

$$Id\vec{l}' \times (\vec{r} - \vec{r}')$$

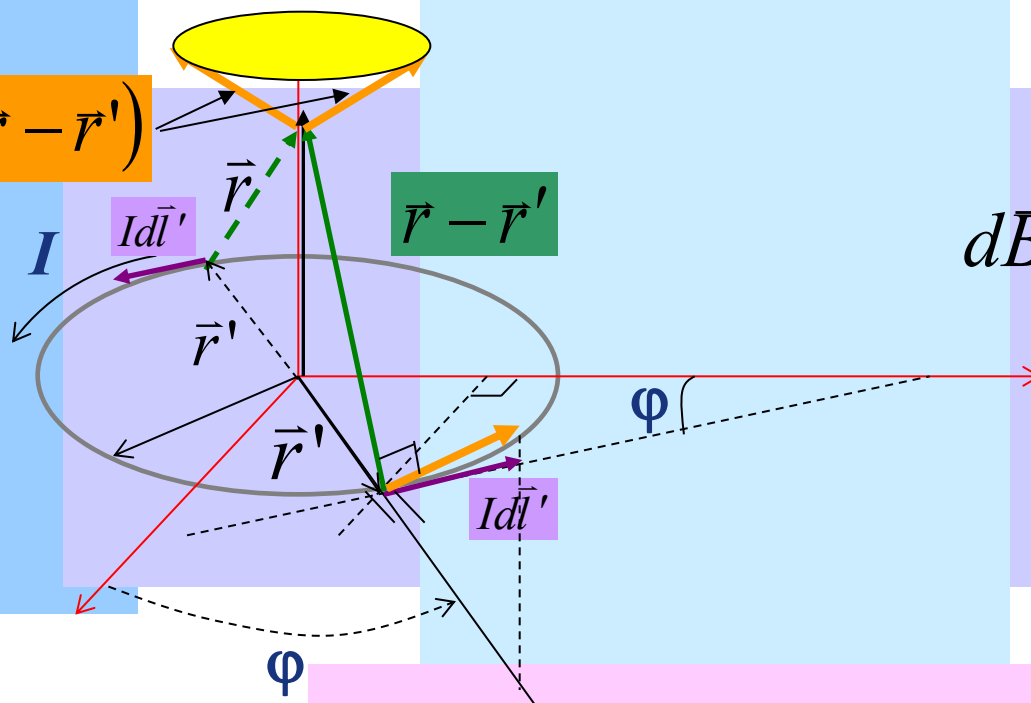


$$d\vec{B} = \frac{\mu_0 Id\vec{l}' \times (\vec{r} - \vec{r}')}{4\pi \|\vec{r} - \vec{r}'\|^3}$$

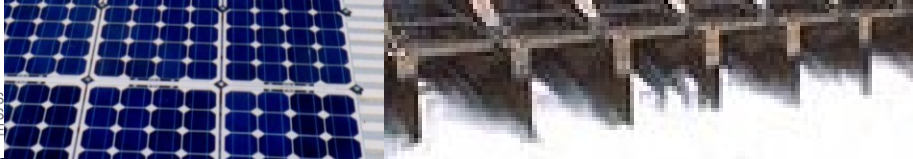


# Regla de la mano derecha

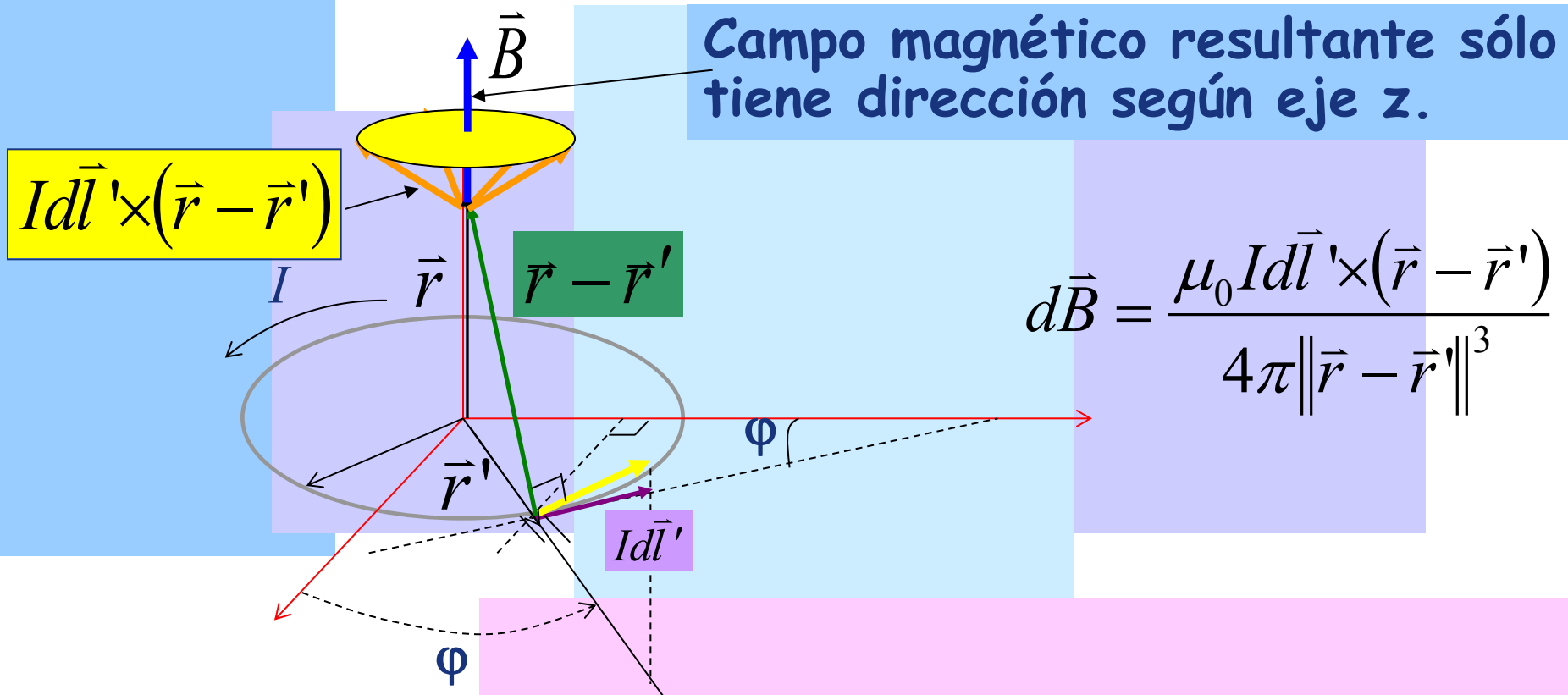
$$Id\vec{l}' \times (\vec{r} - \vec{r}')$$

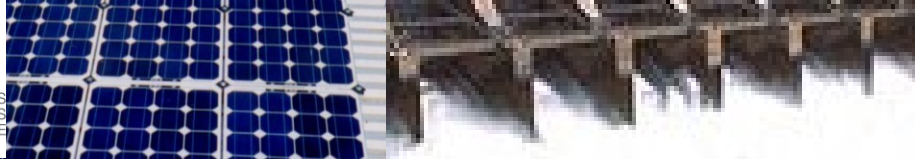


$$d\vec{B} = \frac{\mu_0 Id\vec{l}' \times (\vec{r} - \vec{r}')}{4\pi \|\vec{r} - \vec{r}'\|^3}$$



# Regla de la mano derecha

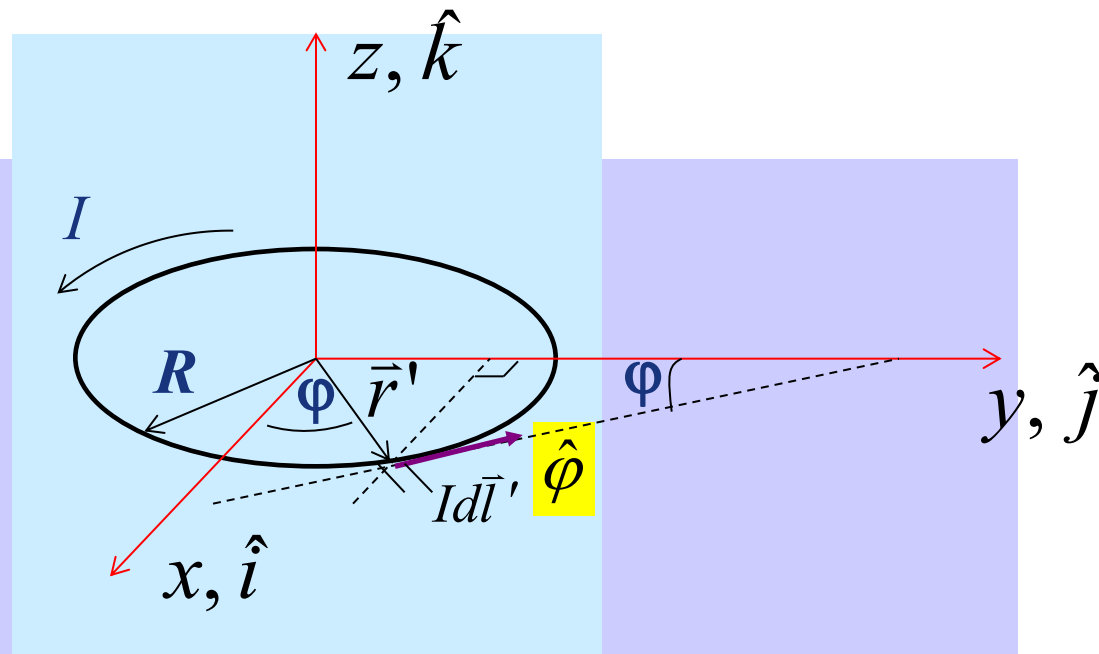




# Ejemplo

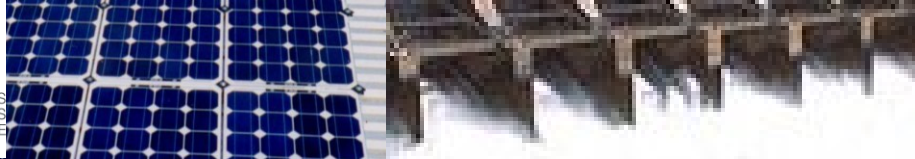
Calculemos  $\vec{B}$ :

$$\vec{B} = \oint_{\Gamma'} \frac{\mu_0 I d\vec{l}' \times (\vec{r} - \vec{r}')}{4\pi \|\vec{r} - \vec{r}'\|^3}$$



$$Id\vec{l}' = Idl' \hat{\phi} = Idl' (-\sin \varphi \hat{i} + \cos \varphi \hat{j})$$

$$Id\vec{l}' = IR d\varphi (-\sin \varphi \hat{i} + \cos \varphi \hat{j})$$



# Ejemplo

Calculemos  $\vec{B}$ :

$$\vec{B} = \oint_{\Gamma'} \frac{\mu_0 I d\vec{l}' \times (\vec{r} - \vec{r}')}{4\pi \|\vec{r} - \vec{r}'\|^3}$$

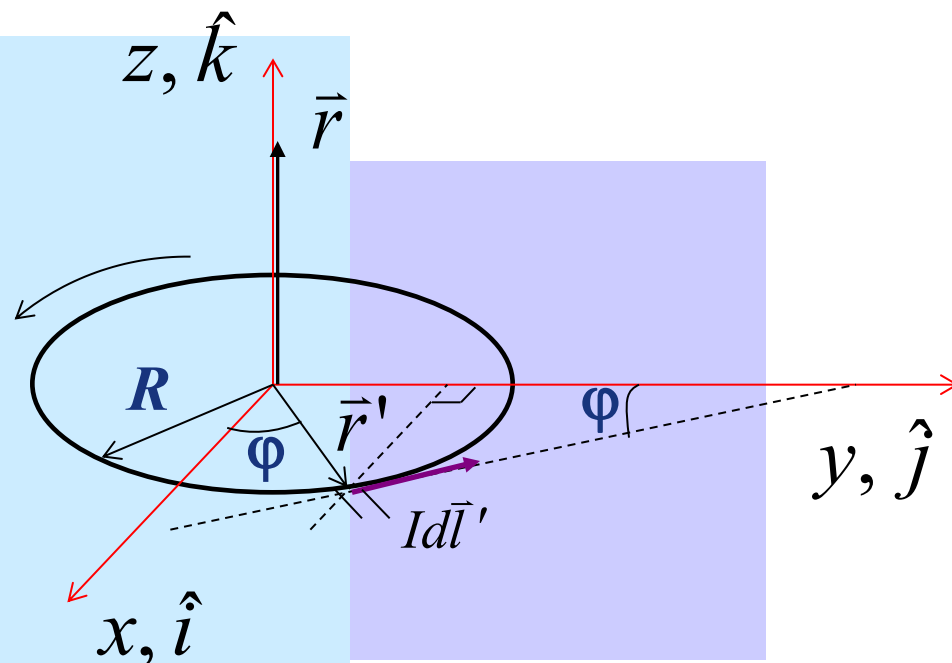
$$\vec{r}' = R\hat{\rho} = R(\cos\varphi\hat{i} + \sin\varphi\hat{j})$$

$$\vec{r} = z\hat{k}$$

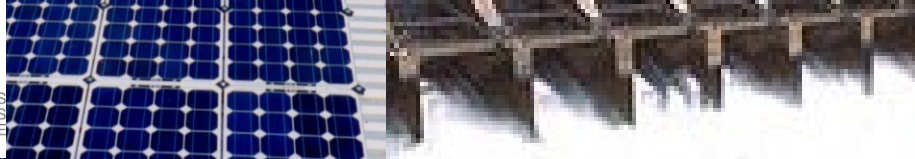
$$\vec{r} - \vec{r}' = -R\cos\varphi\hat{i} - R\sin\varphi\hat{j} + z\hat{k}$$

$$\|\vec{r} - \vec{r}'\| = [R^2\cos^2\varphi + R^2\sin^2\varphi + z^2]^{1/2}$$

$$\|\vec{r} - \vec{r}'\| = [R^2 + z^2]^{1/2}$$





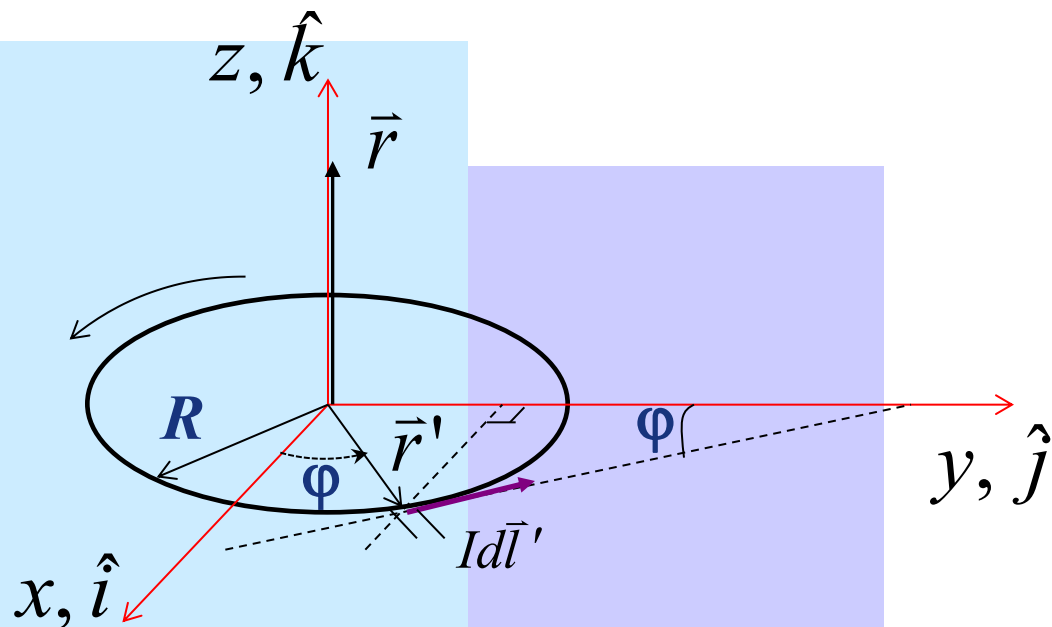


# Ejemplo

Calculemos  $\vec{B}$

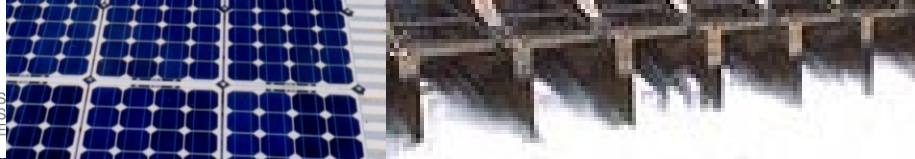
$$\vec{B} = \oint_{\Gamma'} \frac{\mu_0 I d\vec{l}' \times (\vec{r} - \vec{r}')}{4\pi \|\vec{r} - \vec{r}'\|^3}$$

Circuito  $\Gamma'$ :  $\varphi = [0, 2\pi]$



$$\oint_{\Gamma'} = \int_0^{2\pi} \frac{\mu_0}{4\pi} \frac{IR d\varphi}{[R^2 + z^2]^{3/2}} (-\sin \varphi \hat{i} + \cos \varphi \hat{j}) \times (-R \cos \varphi \hat{i} - R \sin \varphi \hat{j} + z \hat{k})$$

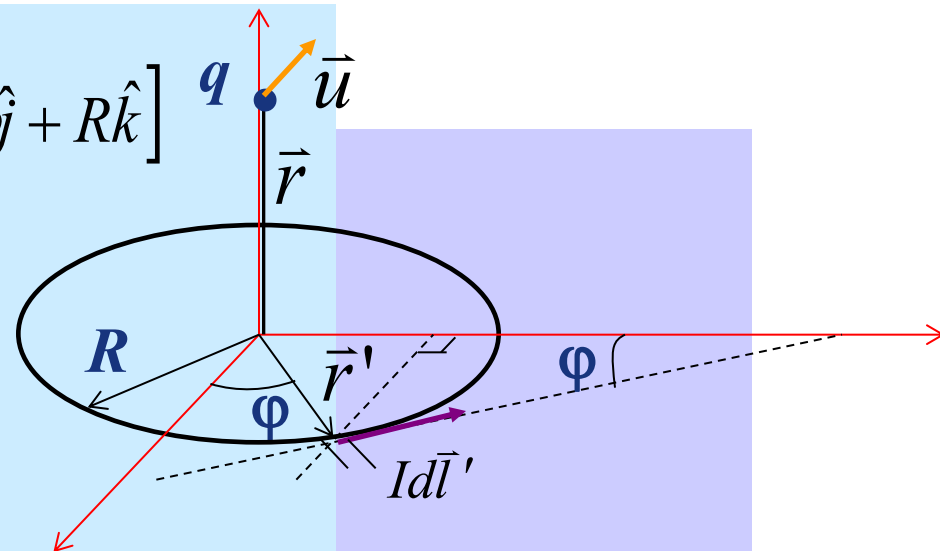
$$\Rightarrow \oint_{\Gamma'} = \int_0^{2\pi} \frac{\mu_0 IR d\varphi}{4\pi [R^2 + z^2]^{3/2}} [R \sin^2 \varphi \hat{k} + z \sin \varphi \hat{j} + R \cos^2 \varphi \hat{k} + z \cos \varphi \hat{i}]$$



# Ejemplo

$$\oint_{\Gamma'} = \int_0^{2\pi} \frac{\mu_0 I R d\varphi}{4\pi [R^2 + z^2]^{3/2}} \left[ z \cos \varphi \hat{i} + z \sin \varphi \hat{j} + R \hat{k} \right]$$

$$\Rightarrow \vec{B} = \frac{\mu_0 I R^2 2\pi}{4\pi [R^2 + z^2]^{3/2}} \hat{k}$$



Campo sólo tiene componente según z!

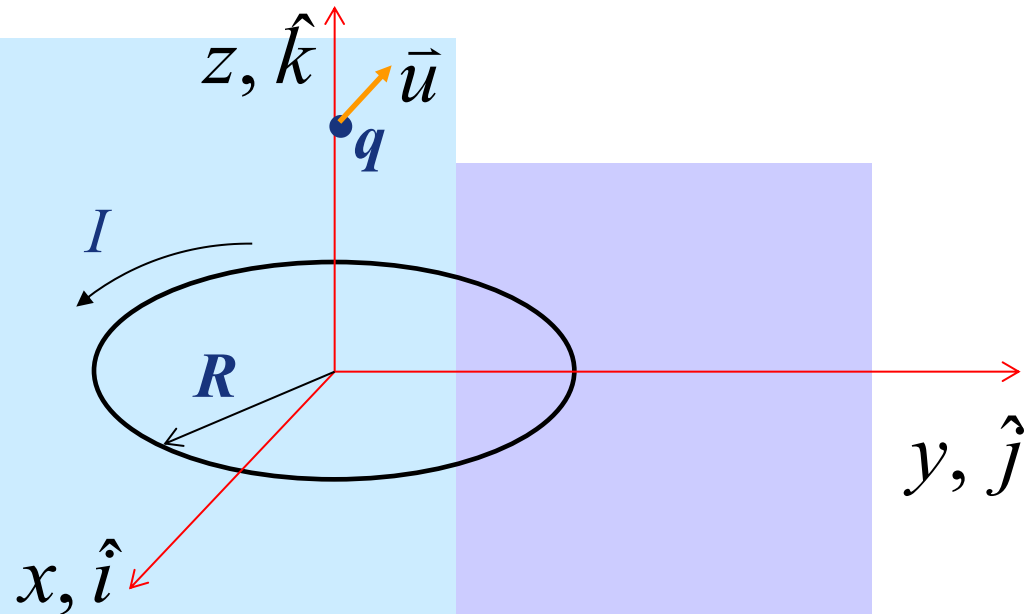
$$\Rightarrow \vec{F} = q\vec{u} \times \frac{\mu_0 I R^2}{2[R^2 + z^2]^{3/2}} \hat{k}$$

$$\therefore \vec{F} = \frac{q\mu_0 I R^2}{2[R^2 + z^2]^{3/2}} \vec{u} \times \hat{k}$$



# Ejemplo: Fuerza sobre una carga

$$\vec{F} = \frac{q\mu_0 IR^2}{2[R^2 + z^2]^{3/2}} \vec{u} \times \hat{k}$$



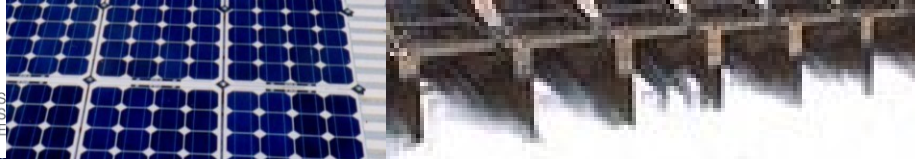
La fuerza sobre la carga  $q$  en cada caso es:

$$\vec{u} = 0 \Rightarrow \vec{F} = 0$$

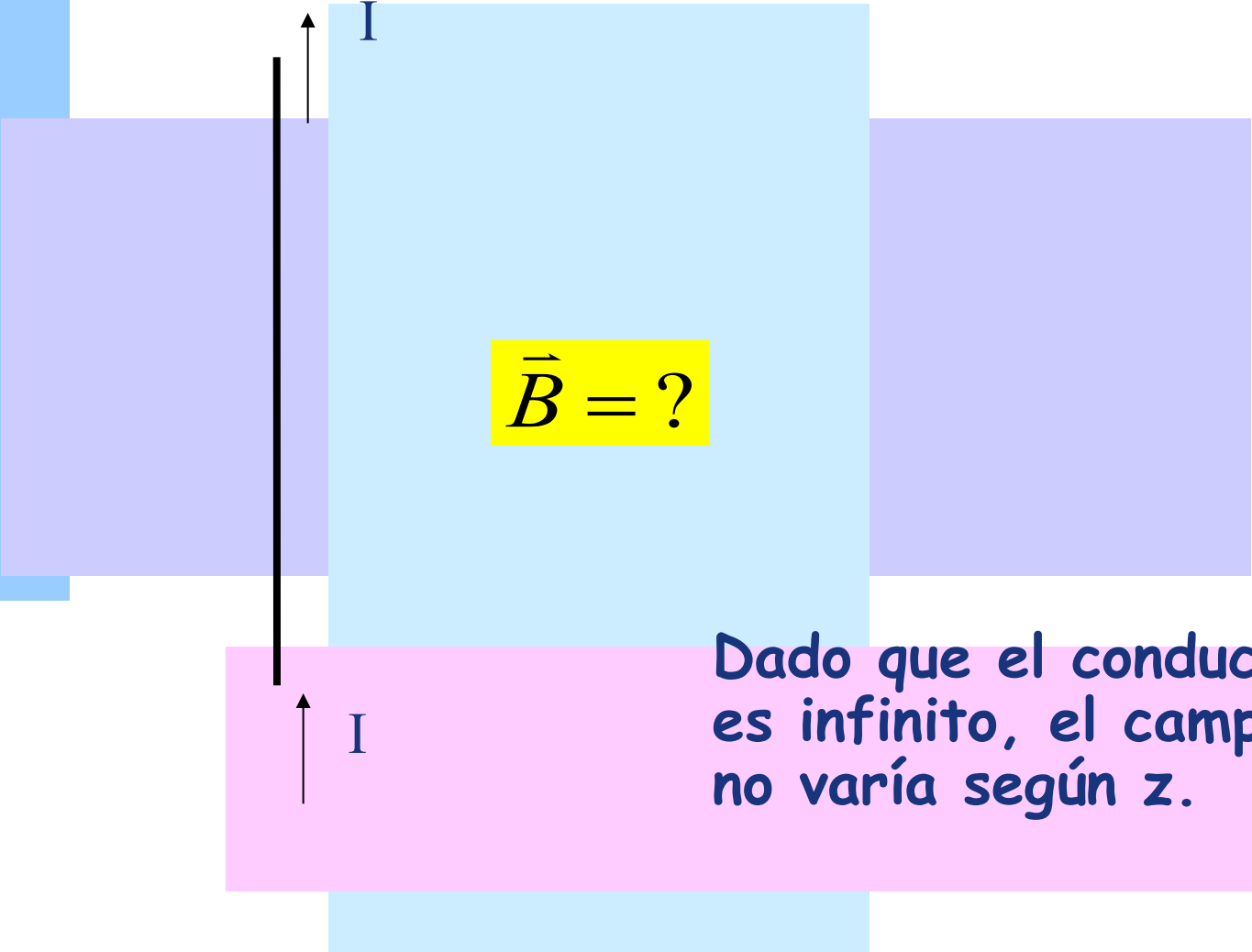
$$\vec{u} = v_o \hat{k} \Rightarrow \vec{F} = 0$$

$$\vec{u} = v_o \hat{j} \Rightarrow \vec{F} = \frac{q\mu_0 IR^2}{2[R^2 + z^2]^{3/2}} v_o \hat{i}$$

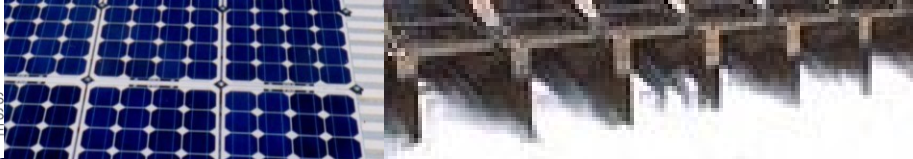
$$\vec{u} = v_o \hat{i} \Rightarrow \vec{F} = - \frac{q\mu_0 IR^2}{2[R^2 + z^2]^{3/2}} v_o \hat{j}$$



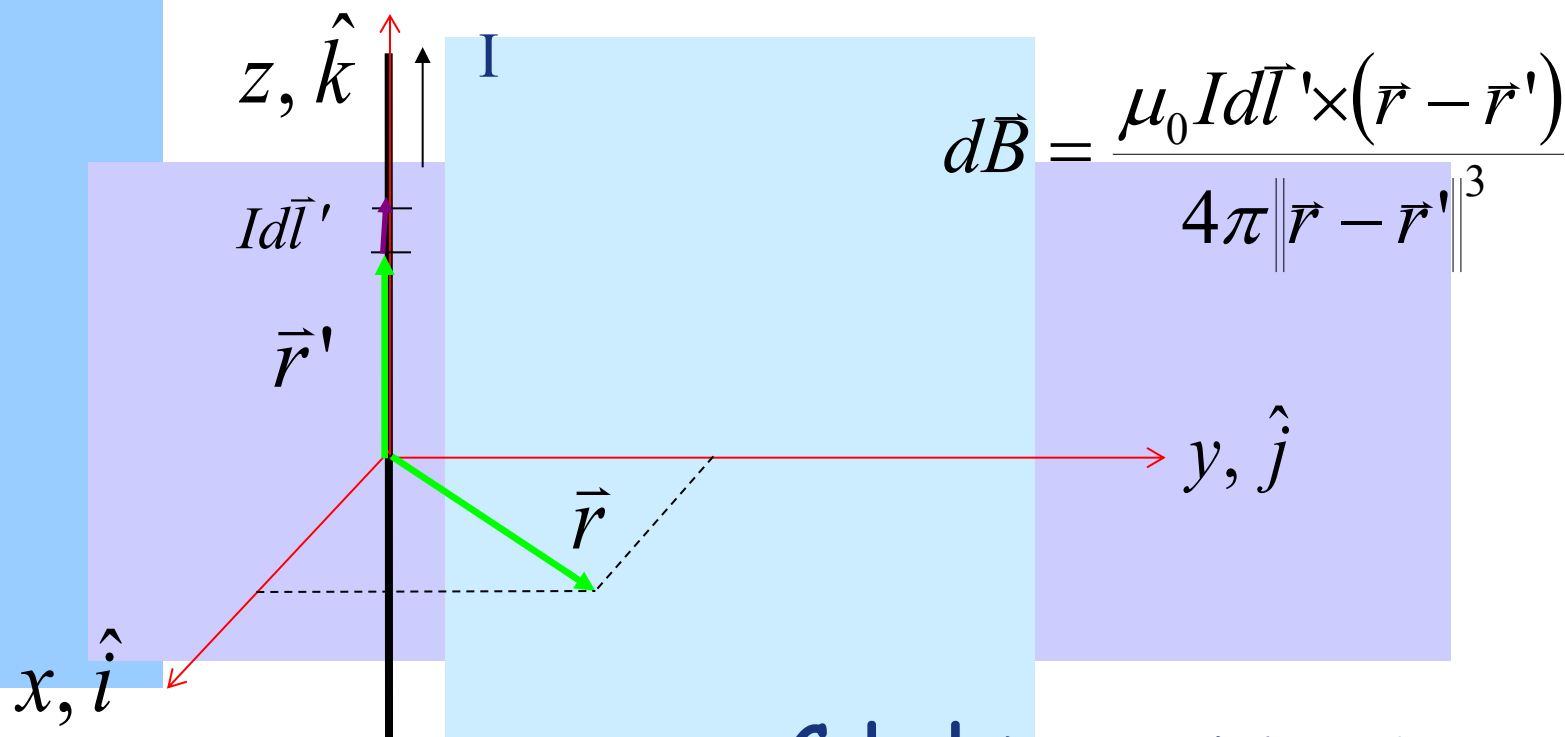
# Campo Magnético Linea Infinita


$$\vec{B} = ?$$

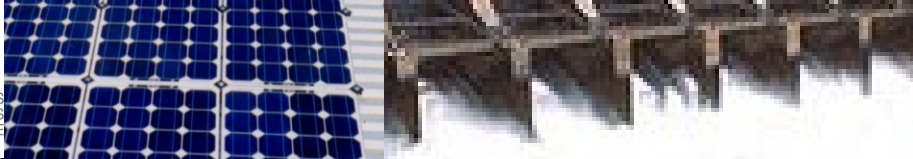
Dado que el conductor es infinito, el campo no varía según  $z$ .



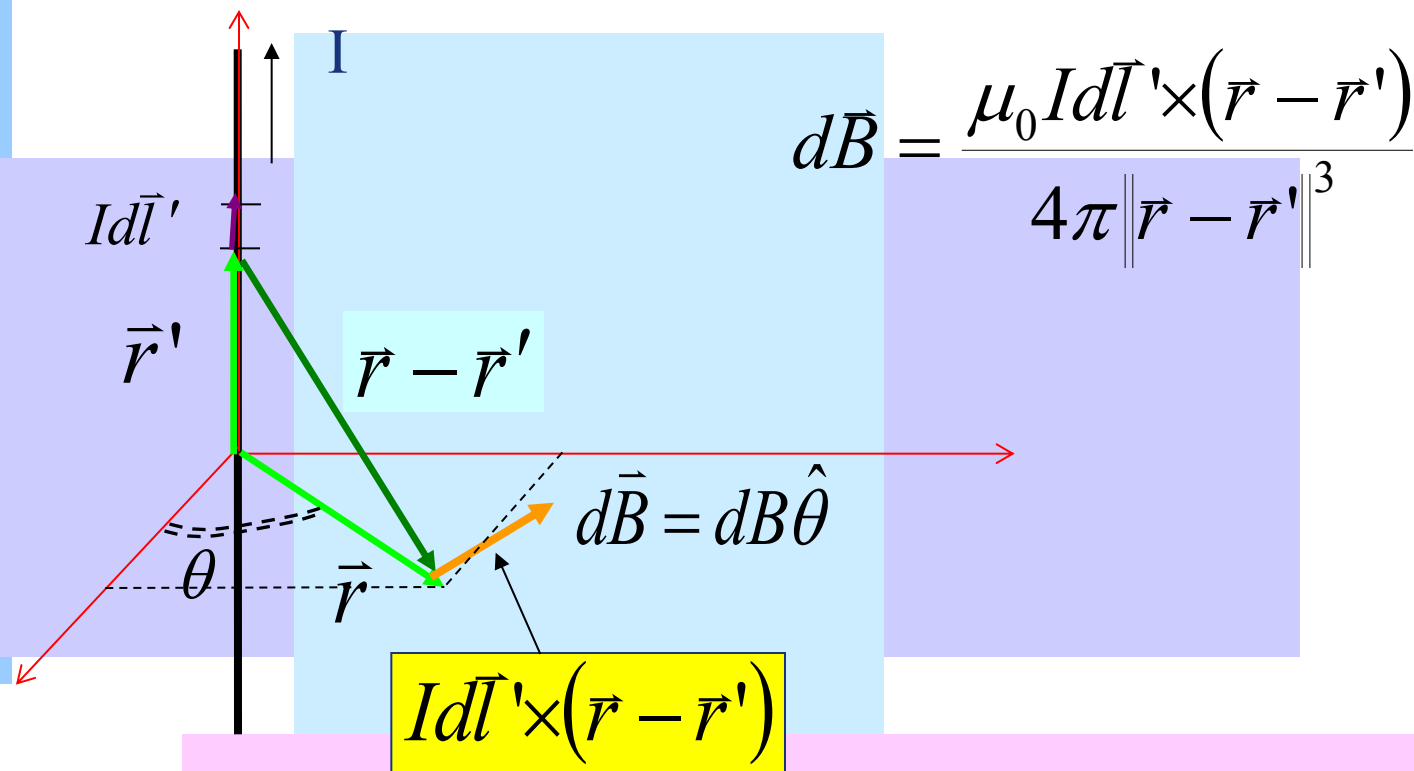
# Campo Magnético Línea Infinita



Calculemos campo en  
plano x-y para  $z=0$



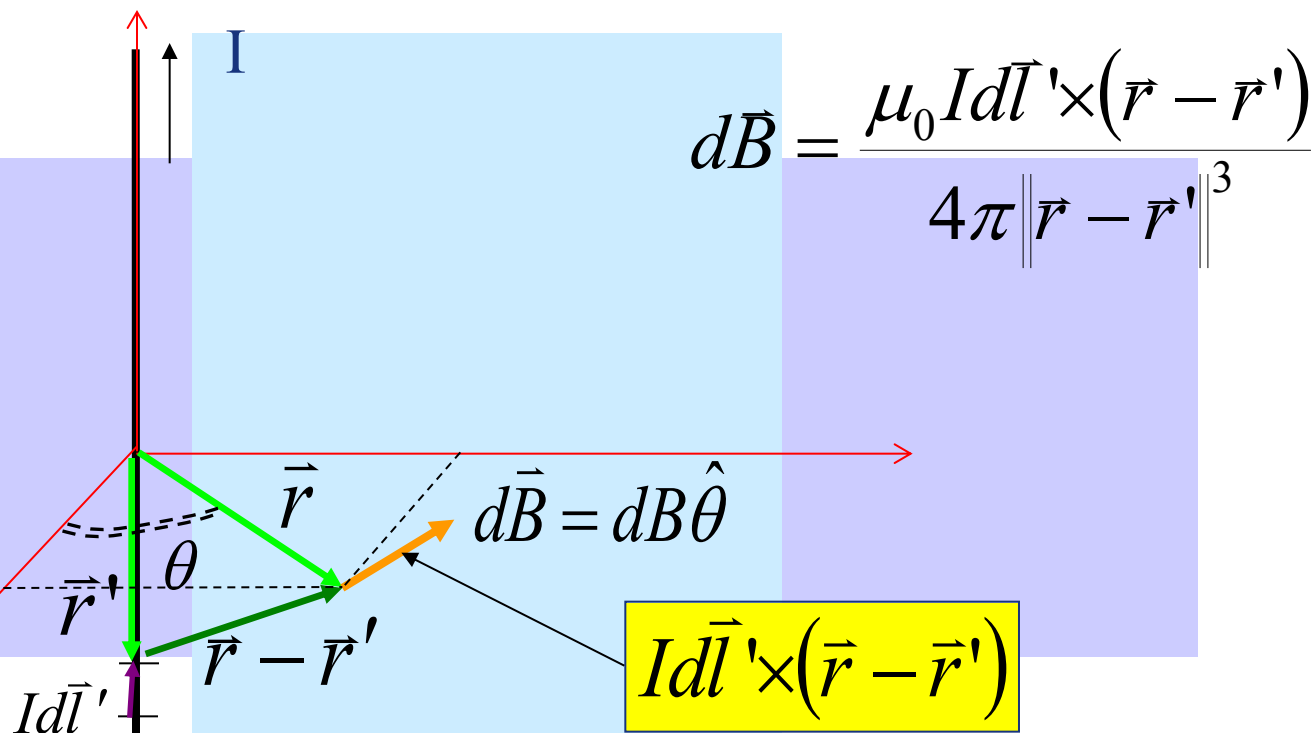
# Campo Magnético Línea Infinita



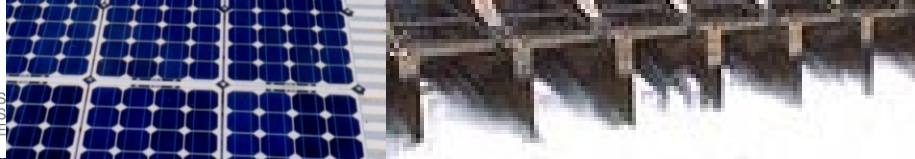




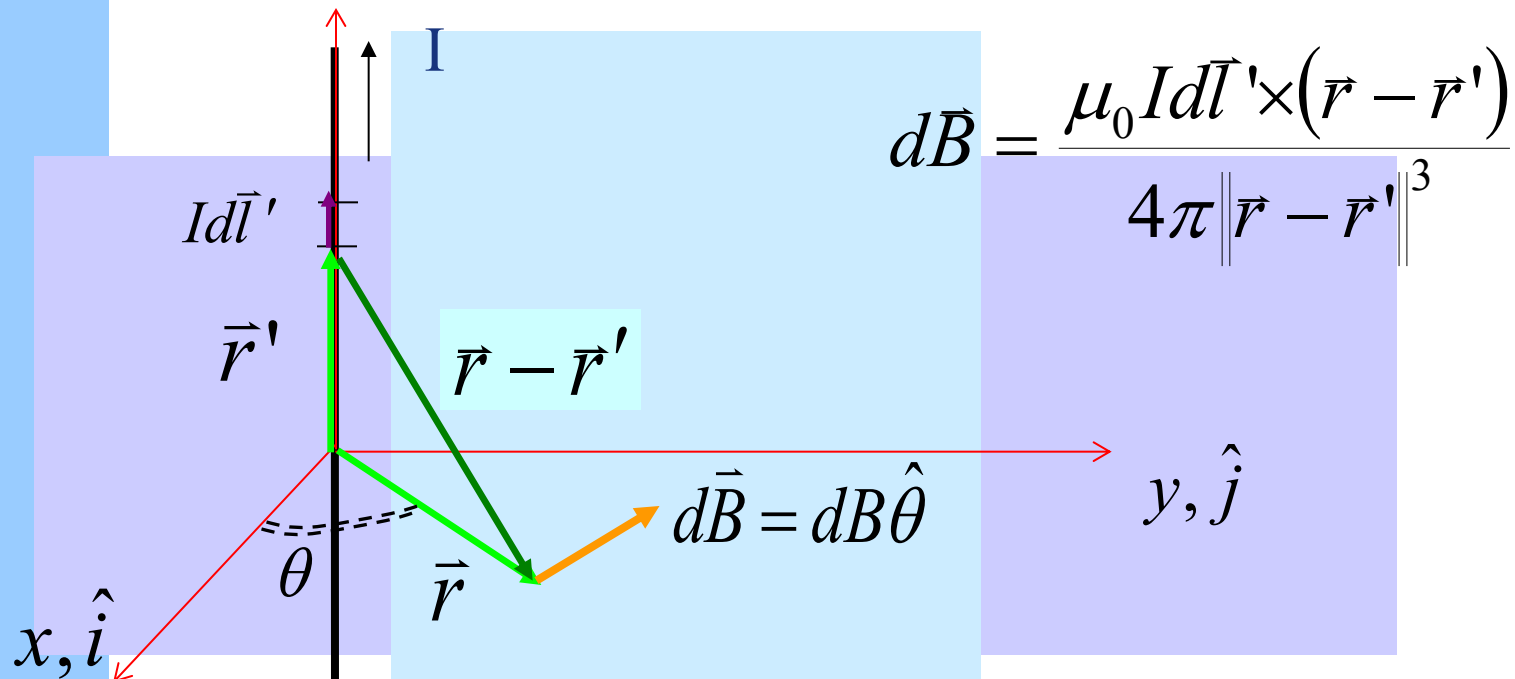
# Campo Magnético Línea Infinita



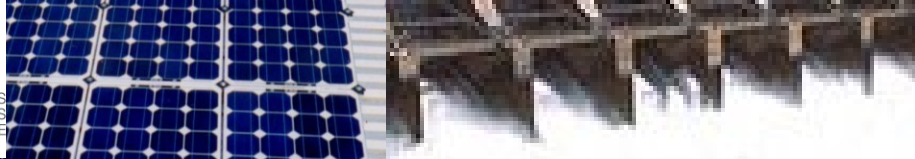
Notar que la contribución de todos los elementos de corriente tiene la misma dirección según  $\hat{\theta}$



# Campo Magnético Línea Infinita



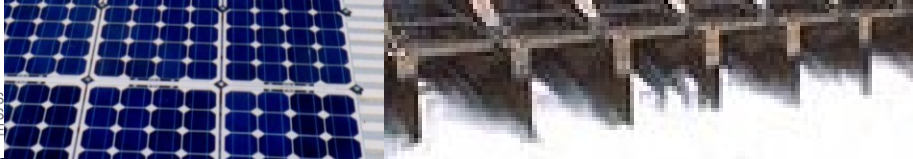
$$\left. \begin{aligned} \vec{r}' &= z' \hat{k} \\ \vec{r} &= r \cos \theta \hat{i} + r \sin \theta \hat{j} \\ Id\vec{l}' &= Idz' \hat{k} \end{aligned} \right\} d\vec{B} = \frac{\mu_0 Idz' \hat{k} \times (r \cos \theta \hat{i} + r \sin \theta \hat{j} - z' \hat{k})}{4\pi [r^2 + z'^2]^{3/2}}$$



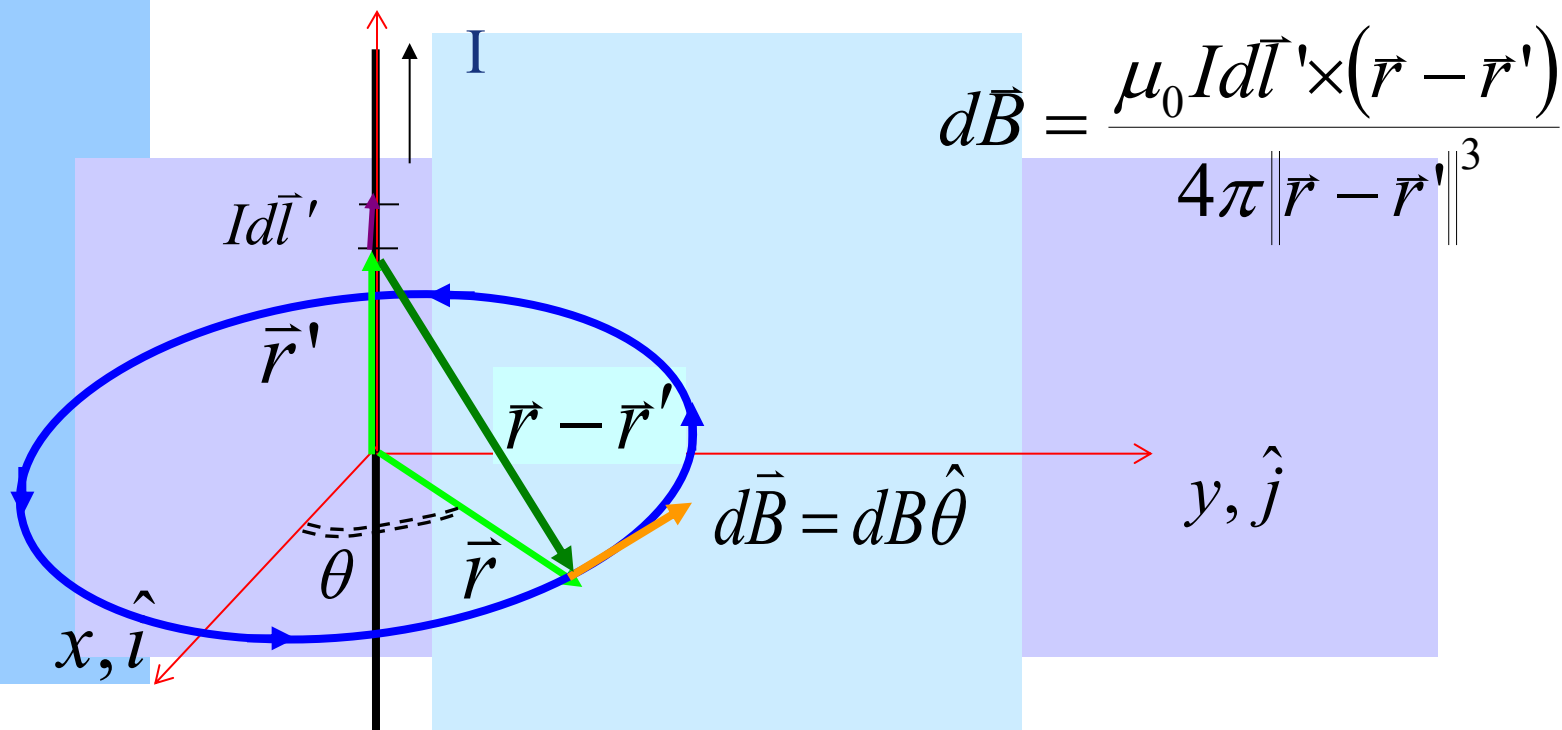
# Campo Magnético Linea Infinita

$$d\vec{B} = \frac{\mu_0 I d\vec{l}' \times (\vec{r} - \vec{r}')}{4\pi \|\vec{r} - \vec{r}'\|^3}$$

$$\vec{B} = \int_{z'=-\infty}^{z'=\infty} \frac{\mu_0 I r (\cos \theta \hat{j} - \sin \theta \hat{i}) dz'}{4\pi [r^2 + z'^2]^{3/2}}$$

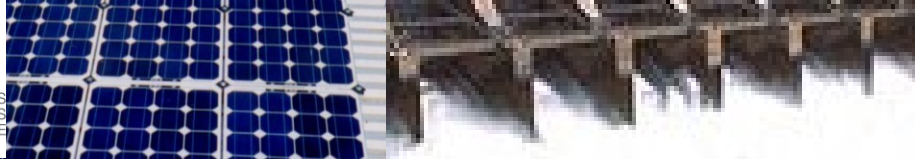


# Campo Magnético Línea Infinita

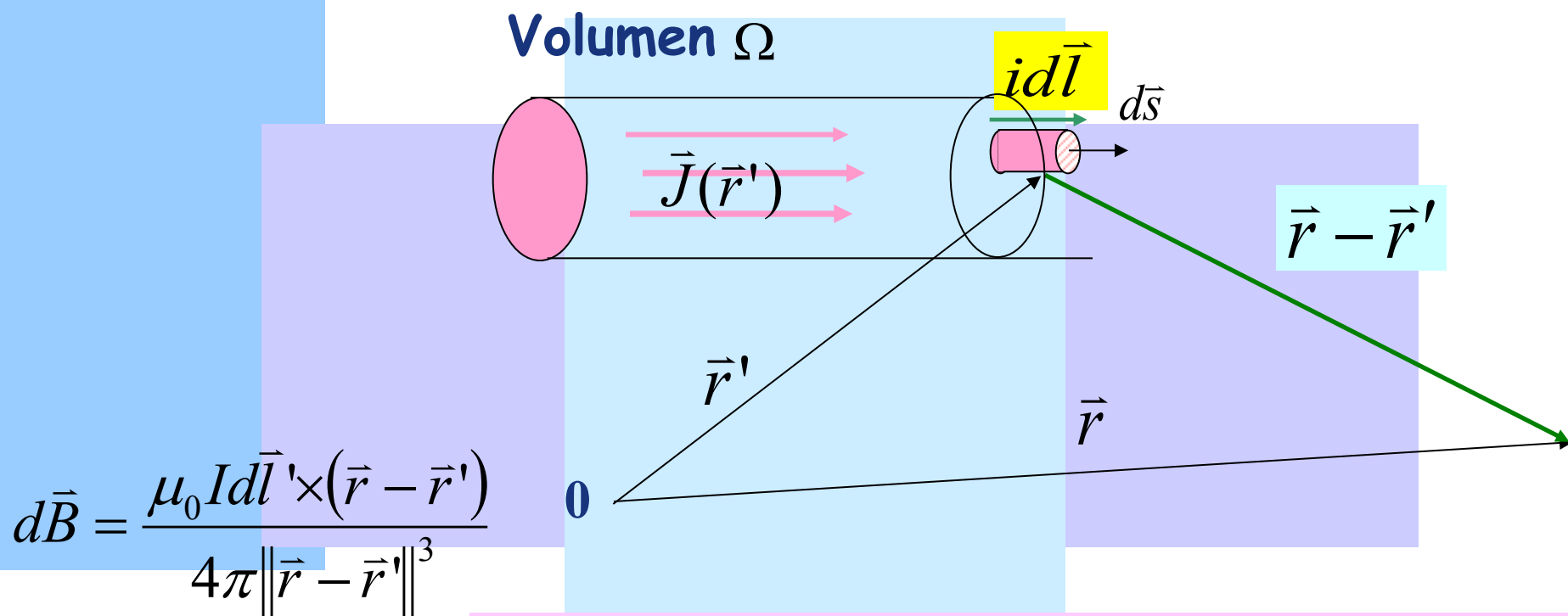


Se obtiene finalmente

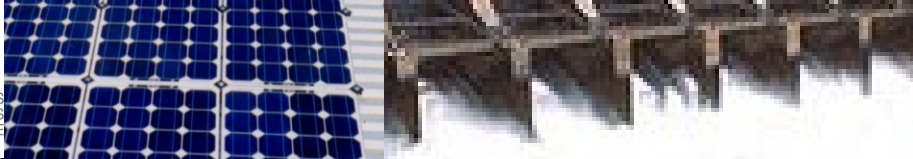
$$\therefore \vec{B} = \frac{\mu_0 I}{2\pi r} \hat{\theta}$$



# Campo magnético de distribuciones de corriente



$$id\vec{l} = \vec{J} \cdot d\vec{s} \cdot d\vec{l} = \vec{J} dv'$$
$$\vec{B} = \frac{\mu_0}{4\pi} \iiint_{\Omega} \frac{\vec{J}(\vec{r}') \times (\vec{r} - \vec{r}')}{\|\vec{r} - \vec{r}'\|^3} dv'$$

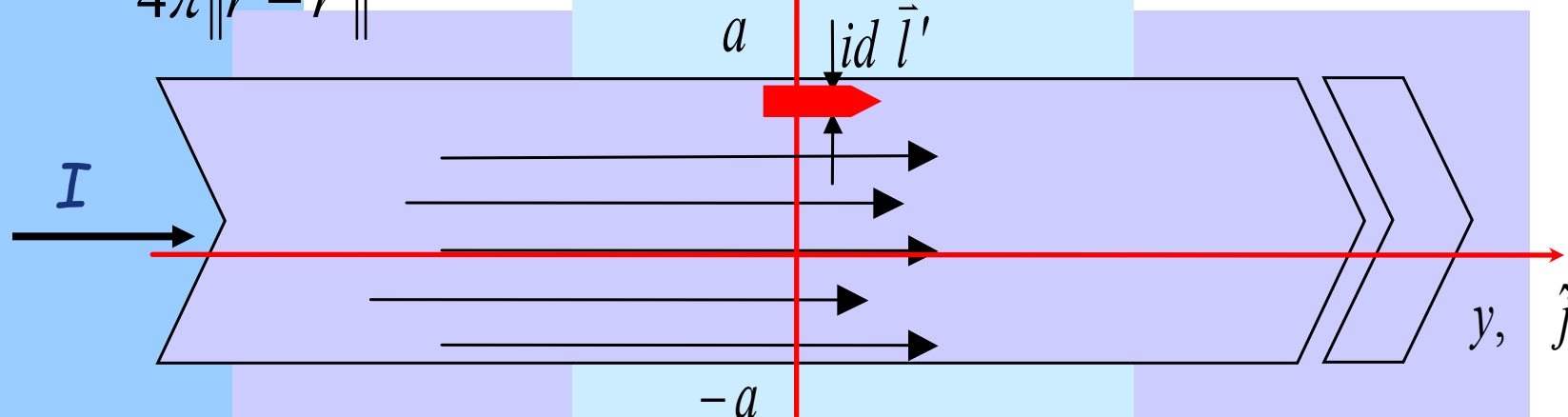


# Densidad de Corriente Superficial

$$d\vec{B} = \frac{\mu_0 I d\vec{l}' \times (\vec{r} - \vec{r}')}{4\pi \|\vec{r} - \vec{r}'\|^3}$$

$z, \hat{k}$   
 $a$

$$\vec{K}(\vec{r}) = \lim_{\Delta z \rightarrow 0} \frac{\Delta I}{\Delta z} \hat{j} \Rightarrow i = dI = \vec{K} \cdot dz \hat{j}$$

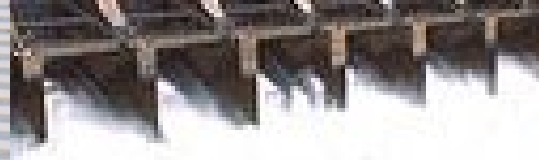
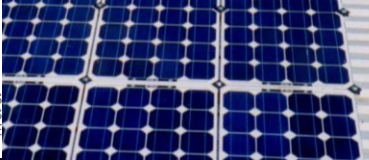


Sólo hay corriente en la superficie  $S$  del plano  $y$ - $z$

$$id\vec{l}' = (\vec{K} \cdot dz \hat{j}) dy \hat{j} = (K \hat{j} \cdot \hat{j}) dz dy \hat{j} = K dz dy \hat{j} = \vec{K} ds$$

$$\vec{B} = \frac{\mu_0}{4\pi} \iint_S \frac{\vec{K}(\vec{r}') \times (\vec{r} - \vec{r}')}{\|\vec{r} - \vec{r}'\|^3} ds'$$

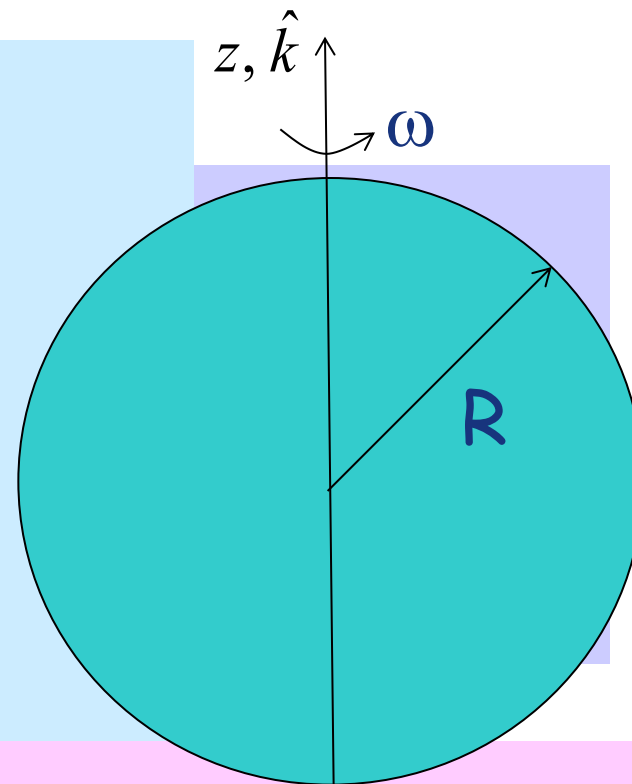


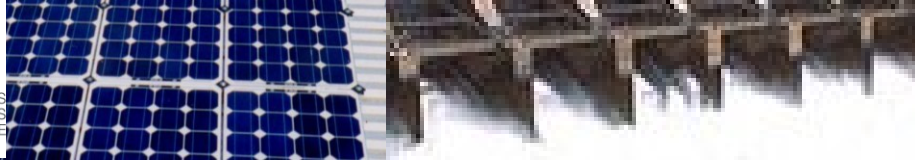


# Campo de Densidad de Corriente Superficial

Casquete esférico cargado con carga superficial  $\sigma$  y girando a velocidad angular  $\omega$

- Calcular densidad de corriente superficial
- Calcular campo magnético en el eje de rotación para  $z \gg R$





# Densidad de Corriente Superficial

## • Densidad de corriente superficial

$$\vec{K}(\vec{r}) = \lim_{\Delta l \rightarrow 0} \frac{\Delta I}{\Delta l} \hat{\theta} \left[ \frac{A}{m} \right]$$

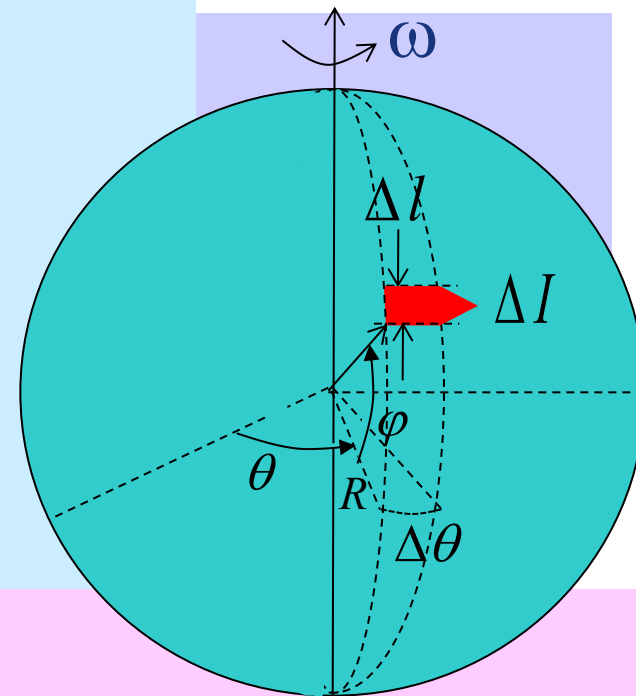
$$\Delta q = \sigma \Delta s \quad \Delta s = R \sin \varphi \Delta \theta \Delta l$$

$$\Delta l = R \Delta \varphi \quad \Delta s = R \sin \varphi \Delta \theta R \Delta \varphi$$

$$\Delta q = \sigma R^2 \sin \varphi \Delta \theta \Delta \varphi$$

$$\Delta I = \frac{\Delta q}{\Delta t} = \frac{\sigma R^2 \sin \varphi \Delta \theta \Delta \varphi}{\Delta t}$$

$$\Delta I = \sigma R^2 \sin \varphi \Delta \varphi \frac{\Delta \theta}{\Delta t} = \sigma R^2 \omega \sin \varphi \Delta \varphi \Rightarrow \vec{K}(\vec{r}) = \sigma R \omega \sin \varphi \hat{\theta} \left[ \frac{A}{m} \right]$$





# Densidad de Corriente Superficial

- Campo magnético en el eje

$$\vec{B} = \frac{\mu_0}{4\pi} \iint_S \frac{\vec{K}(\vec{r}') \times (\vec{r} - \vec{r}')}{\|\vec{r} - \vec{r}'\|^3} ds'$$

$$\vec{K}(\vec{r}) = \sigma R \omega \sin \varphi \hat{\theta}$$

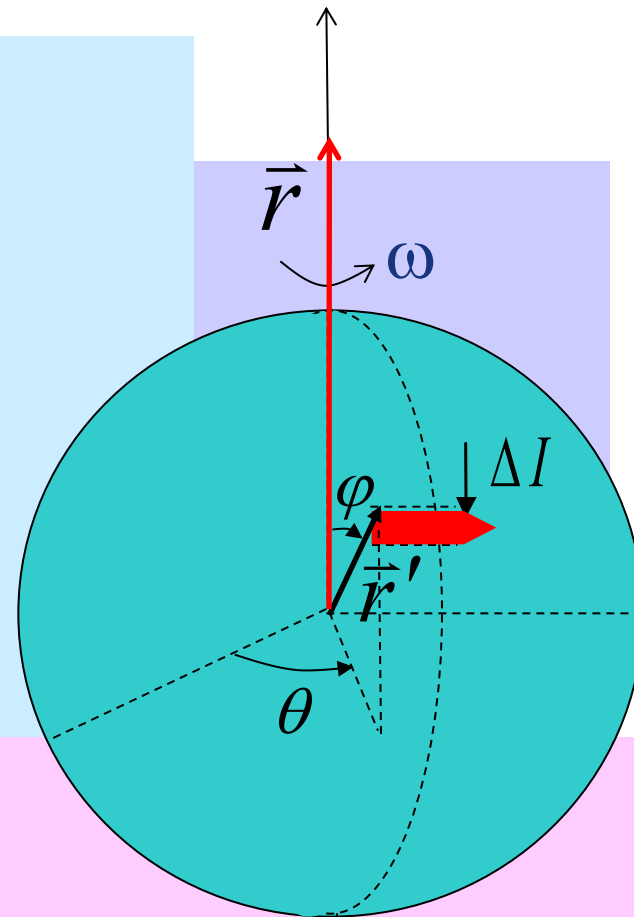
$$\vec{K}(\vec{r}) = \sigma R \omega \sin \varphi (-\sin \theta \hat{i} + \cos \theta \hat{j})$$

$$\vec{r}' = R \hat{\rho}$$

$$\vec{r}' = R \sin \varphi (\cos \theta \hat{i} + \sin \theta \hat{j}) + R \cos \varphi \hat{k}$$

$$\vec{r} = z \hat{k}$$

$$\vec{r} - \vec{r}' = -R \sin \varphi \cos \theta \hat{i} - R \sin \varphi \sin \theta \hat{j} + (z - R \cos \varphi) \hat{k}$$





# Densidad de Corriente Superficial

$$\|\vec{r} - \vec{r}'\| = \left[ R^2 \sin^2 \varphi \cos^2 \theta + R^2 \sin^2 \varphi \sin^2 \theta + (z - R \cos \varphi)^2 \right]^{1/2}$$

$$\|\vec{r} - \vec{r}'\| = \left[ R^2 \sin^2 \varphi + z^2 - 2zR \cos \varphi + R^2 \cos^2 \varphi \right]^{1/2}$$

$$\|\vec{r} - \vec{r}'\| = \left[ R^2 + z^2 - 2zR \cos \varphi \right]^{1/2}$$

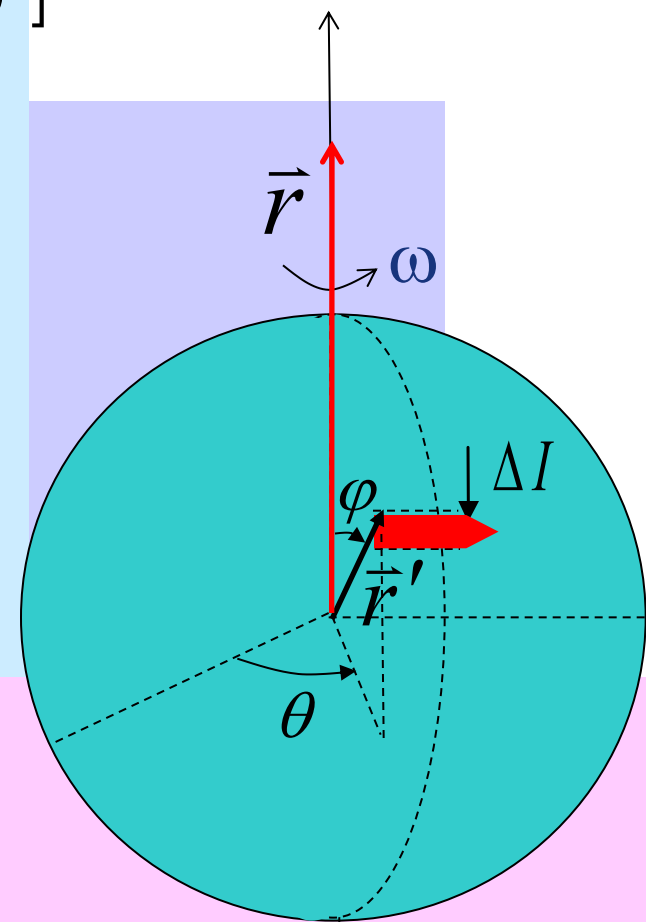
$$\vec{K}(\vec{r}') \times (\vec{r} - \vec{r}') = (\sigma R \omega \sin \varphi (-\sin \theta \hat{i} + \cos \theta \hat{j})) \times$$

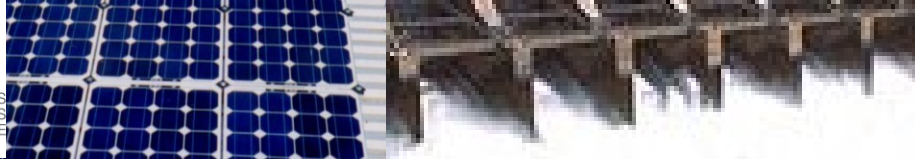
$$(-R \sin \varphi \cos \theta \hat{i} - R \sin \varphi \sin \theta \hat{j} + (z - R \cos \varphi) \hat{k})$$

Notar que el campo magnético sólo tiene  
componente según  $\hat{k}$

$$\vec{K}(\vec{r}') \times (\vec{r} - \vec{r}') = \sigma R \omega \sin \varphi \sin \theta R \sin \varphi \sin \theta \hat{k} +$$

$$\sigma R \omega \sin \varphi \cos \theta R \sin \varphi \cos \theta \hat{k} \Rightarrow \vec{K}(\vec{r}') \times (\vec{r} - \vec{r}') = \sigma R^2 \omega \sin^2 \varphi \hat{k}$$





# Densidad de Corriente Superficial

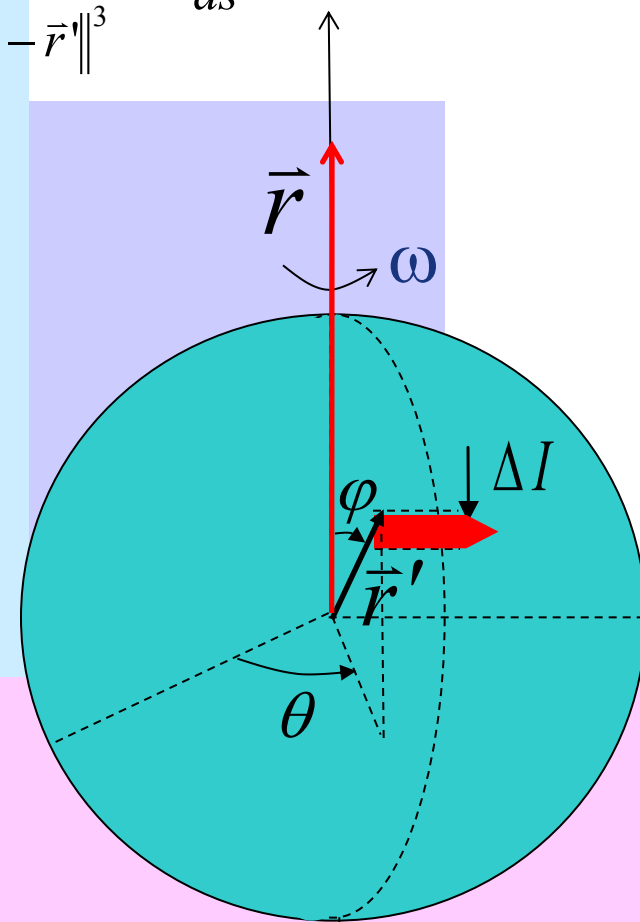
• Campo magnético en el eje  $\vec{B} = \frac{\mu_0}{4\pi} \iint_S \frac{\vec{K}(\vec{r}') \times (\vec{r} - \vec{r}')}{\|\vec{r} - \vec{r}'\|^3} ds'$

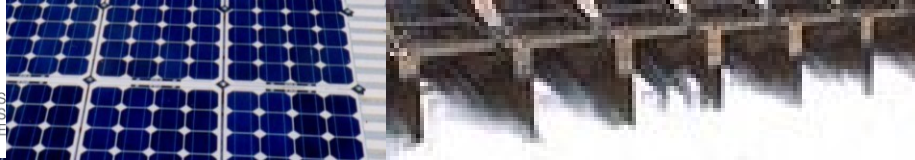
$$\vec{B} = \frac{\mu_0}{4\pi} \int_{\varphi=0}^{\pi} \int_{\theta=0}^{2\pi} \left[ \frac{\sigma R^2 \omega \sin^2 \varphi \hat{k}}{[R^2 + z^2 - 2zR \cos \varphi]^{3/2}} \right] R^2 \sin \varphi d\theta d\varphi$$

$$\vec{B} = \frac{\mu_0}{4\pi} \int_{\varphi=0}^{\pi} 2\pi \left[ \frac{\sigma R^4 \omega \sin^3 \varphi \hat{k}}{[R^2 + z^2 - 2zR \cos \varphi]^{3/2}} \right] d\varphi$$

$$\vec{B} = \frac{\mu_0 \sigma R^4 \omega}{2} \int_{\varphi=0}^{\pi} \left[ \frac{\sin^3 \varphi}{[R^2 + z^2 - 2zR \cos \varphi]^{3/2}} \right] d\varphi \hat{k}$$

$$\vec{B} = \frac{\mu_0 \sigma R^4 \omega}{2(R^2 + z^2)^{3/2}} \int_{\varphi=0}^{\pi} \left[ \frac{\sin^3 \varphi}{1 - \frac{2zR}{R^2 + z^2} \cos \varphi} \right]^{3/2} d\varphi \hat{k}$$





# Densidad de Corriente Superficial

- Campo magnético en el eje  $z \gg R$

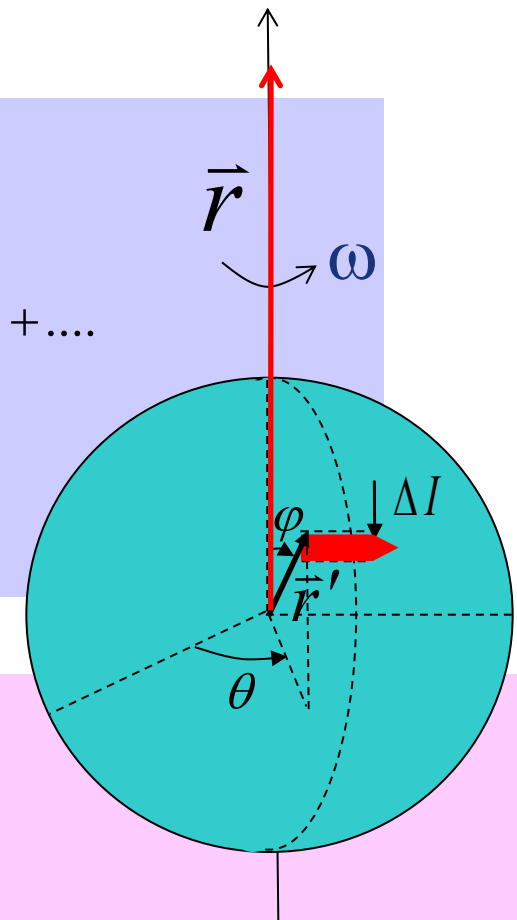
$$\vec{B} = \frac{\mu_0 \sigma R^4 \omega}{2(R^2 + z^2)^{3/2}} \int_{\varphi=0}^{\pi} \frac{\sin^3 \varphi}{\left[1 - \frac{2zR}{R^2 + z^2} \cos \varphi\right]^{3/2}} d\varphi \hat{k}$$

Usando la aproximación  $(1+x)^n = 1 + nx + \frac{n(n-1)}{2!}x^2 + \dots$

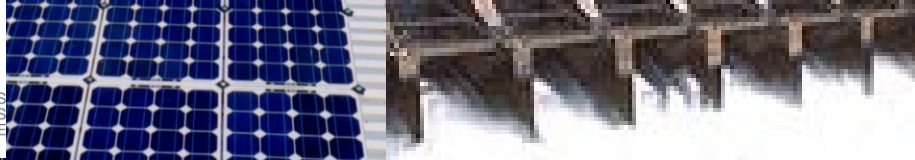
$$\Rightarrow \left[1 - \frac{2zR}{R^2 + z^2} \cos \varphi\right]^{-3/2} = 1 + \frac{3}{2} \frac{2zR}{R^2 + z^2} \cos \varphi + \dots$$

$$\vec{B} = \frac{\mu_0 \sigma R^4 \omega}{2(R^2 + z^2)^{3/2}} \int_{\varphi=0}^{\pi} \sin^3 \varphi \left(1 + \frac{3}{2} \frac{2zR}{R^2 + z^2} \cos \varphi\right) d\varphi \hat{k}$$

$$\vec{B} = \frac{\mu_0 \sigma R^4 \omega \hat{k}}{2(R^2 + z^2)^{3/2}} \left( \int_{\varphi=0}^{\pi} \sin^3 \varphi d\varphi + \int_{\varphi=0}^{\pi} \frac{3zR}{R^2 + z^2} \cos \varphi \sin^3 \varphi d\varphi \right)$$







# Densidad de Corriente Superficial

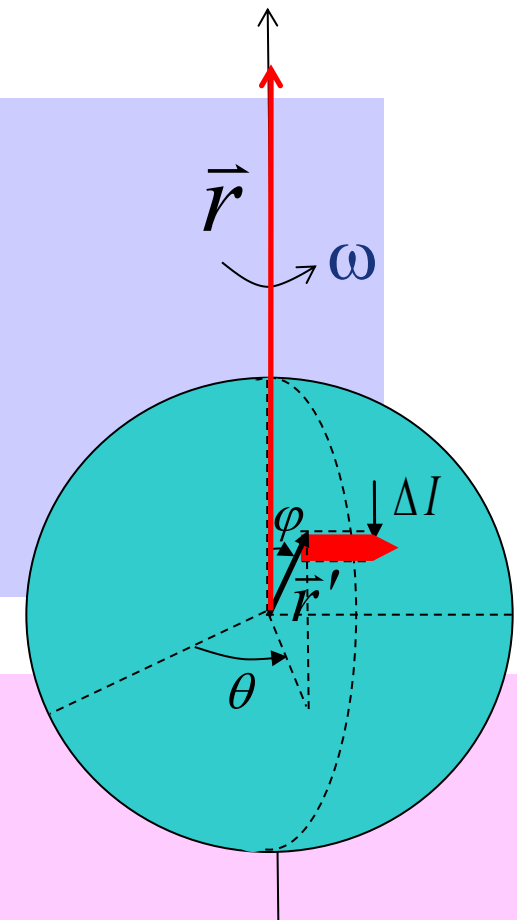
- Campo magnético en el eje  $z \gg R$

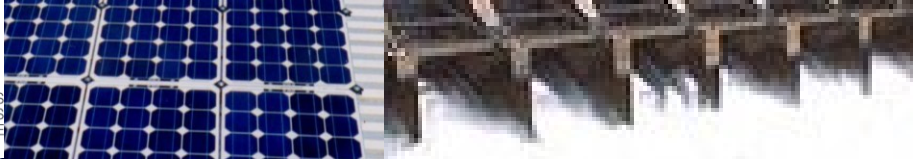
$$\vec{B} = \frac{\mu_0 \sigma R^4 \omega \hat{k}}{2(R^2 + z^2)^{3/2}} \left( \int_{\varphi=0}^{\pi} \sin^3 \varphi d\varphi + \int_{\varphi=0}^{\pi} \frac{3zR}{R^2 + z^2} \cos \varphi \sin^3 \varphi d\varphi \right)$$

$$\int_{\varphi=0}^{\pi} \sin^3 \varphi d\varphi = -\frac{\cos \varphi}{3} (2 + \sin^2 \varphi) \Big|_0^{\pi} = \frac{2}{3} + \frac{2}{3} = \frac{4}{3}$$

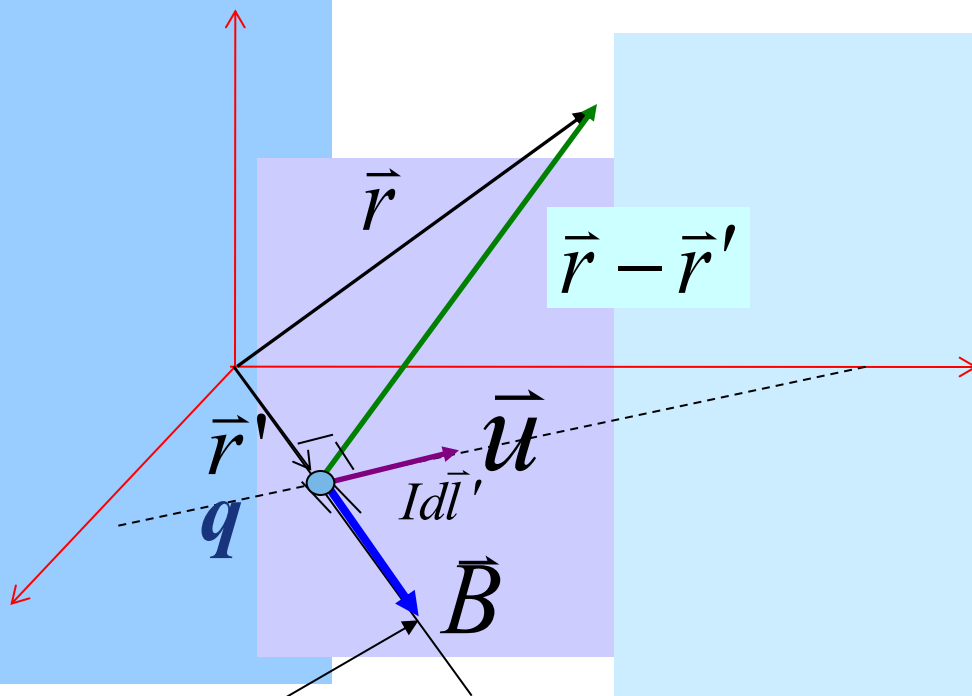
$$\int_{\varphi=0}^{\pi} \cos \varphi \sin^3 \varphi d\varphi = \frac{\sin^4 \varphi}{4} \Big|_0^{\pi} = 0$$

$$\therefore \vec{B} = \frac{2\mu_0 \sigma R^4 \omega}{3(R^2 + z^2)^{3/2}} \hat{k}$$





# Campo Magnético de una Carga Puntual



$$d\vec{B} = \frac{\mu_0 I d\vec{l}' \times (\vec{r} - \vec{r}')}{4\pi \|\vec{r} - \vec{r}'\|^3}$$

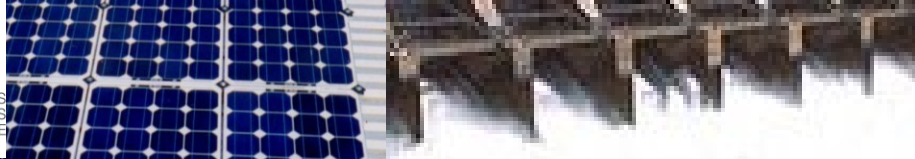
$$id\vec{l} = \frac{dq}{dt} dl \hat{u} = dq \frac{dl}{dt} \hat{u}$$

$$dq \rightarrow q, \quad \frac{dl}{dt} = \|\vec{u}\| \quad \text{y} \quad d\vec{B} \rightarrow \vec{B}$$

$$\Rightarrow \vec{B} = \frac{\mu_0}{4\pi} q \vec{u} \times \frac{(\vec{r} - \vec{r}')}{\|\vec{r} - \vec{r}'\|^3}$$

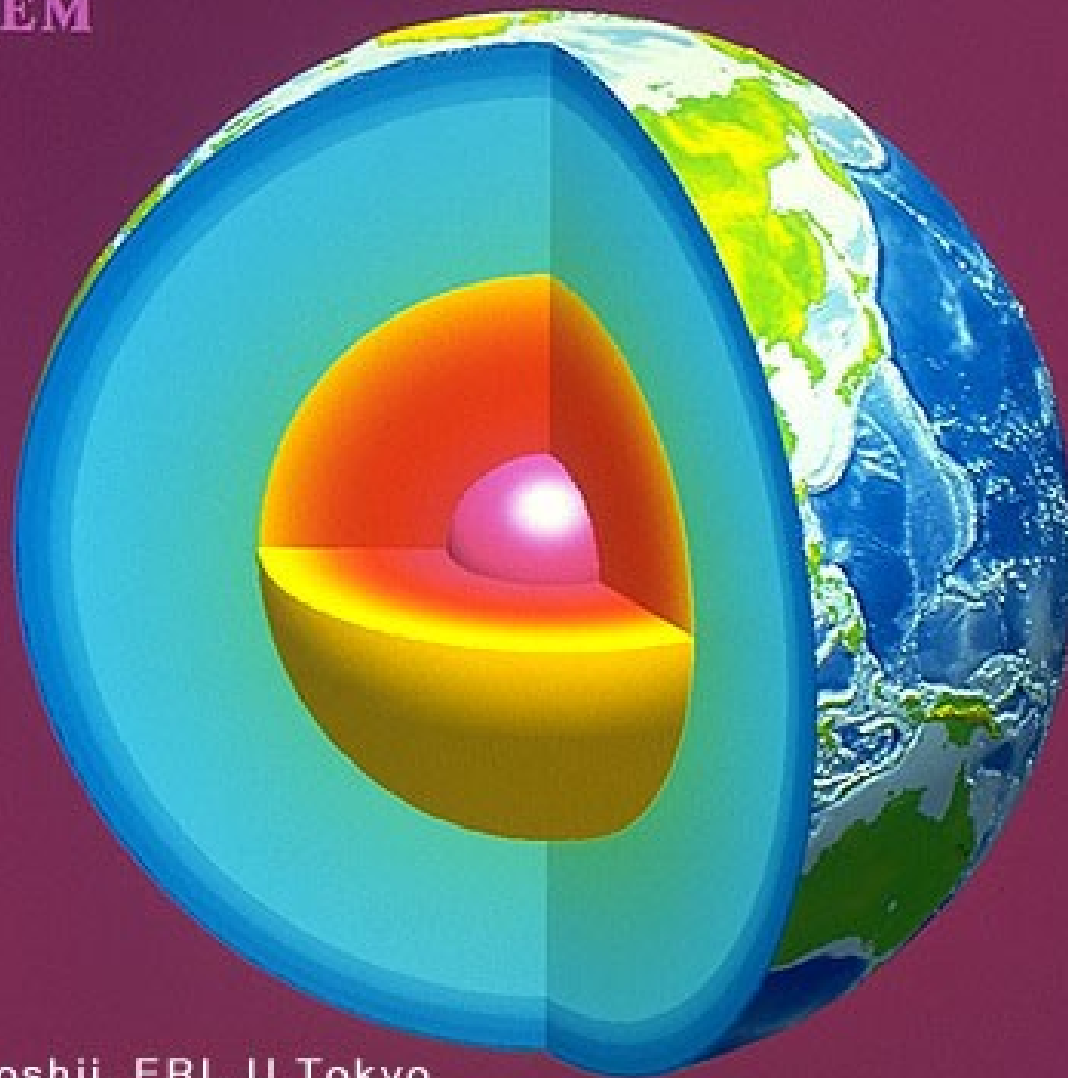
$$Id\vec{l}' \times (\vec{r} - \vec{r}')$$

Campo magnético resultante perpendicular a la velocidad

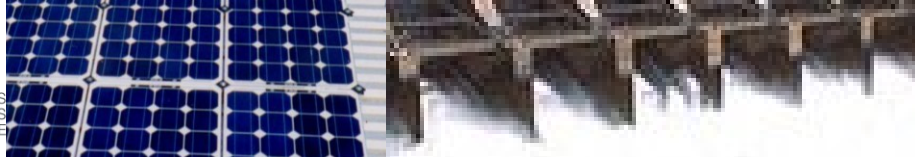


# Campo Magnético Terrestre

PREM

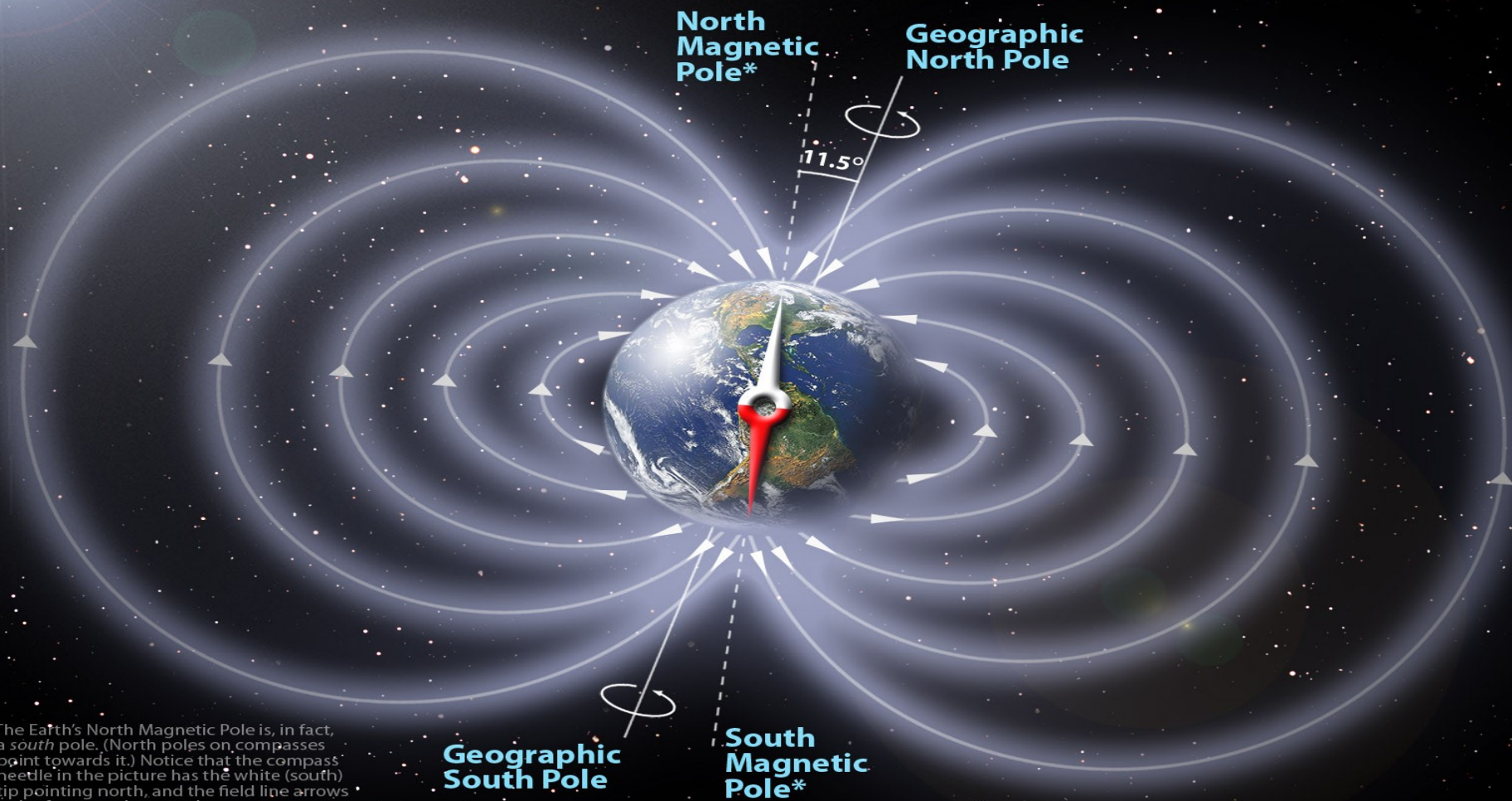


T.Yoshii, ERI, U.Tokyo



# Campo Magnético Terrestre

## The Earth's Magnetic Field

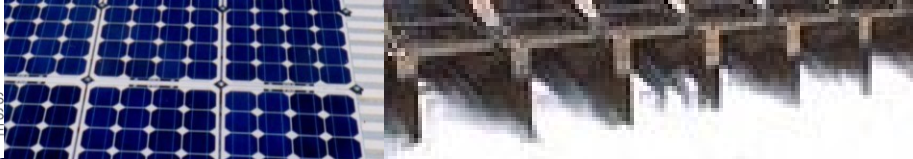


\*The Earth's North Magnetic Pole is, in fact, a *south* pole. (North poles on compasses point towards it.) Notice that the compass needle in the picture has the white (south) tip pointing north, and the field line arrows point from south to north.

Larger versions of this image are available: contact [peter.reid@ed.ac.uk](mailto:peter.reid@ed.ac.uk)

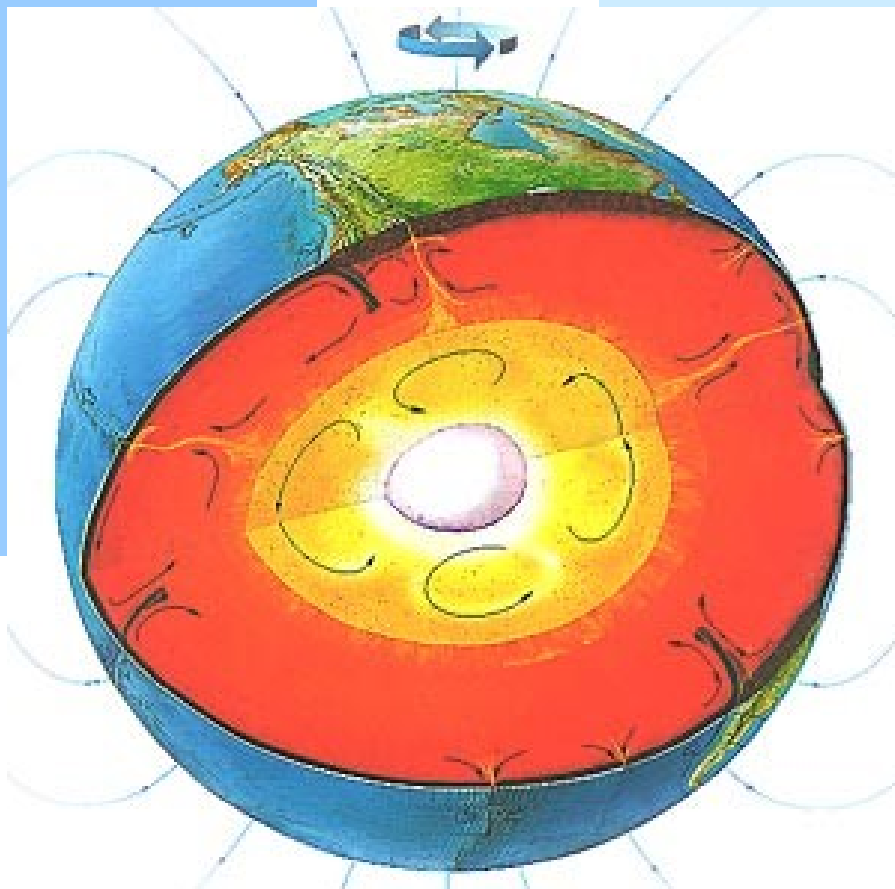
Peter Reid, 2007



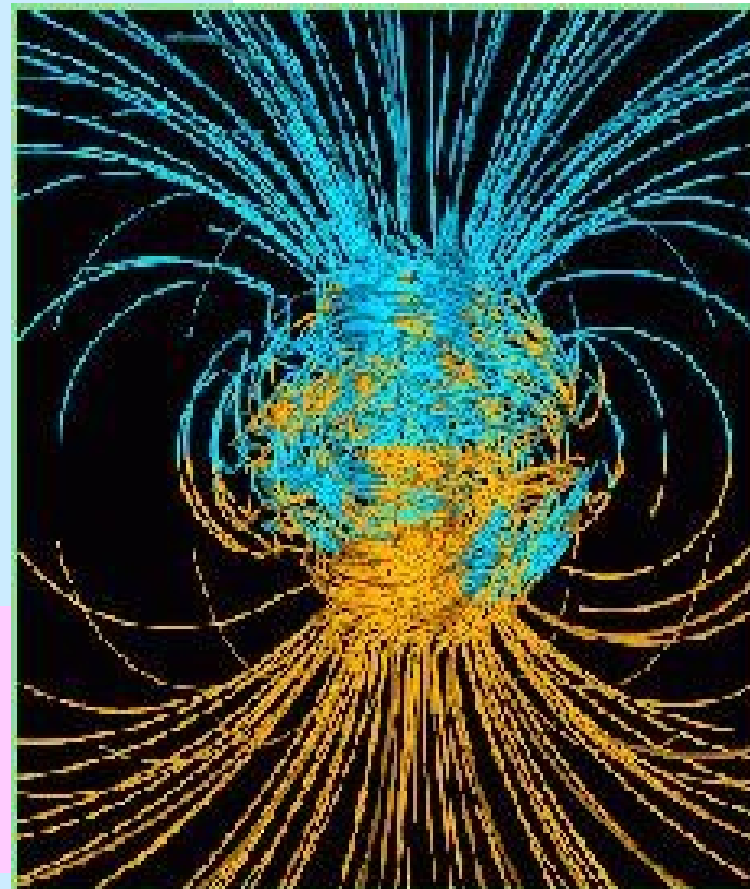


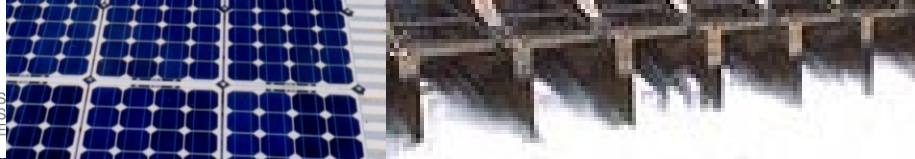
# Campo Magnético Terrestre

Convección



Geodínamo



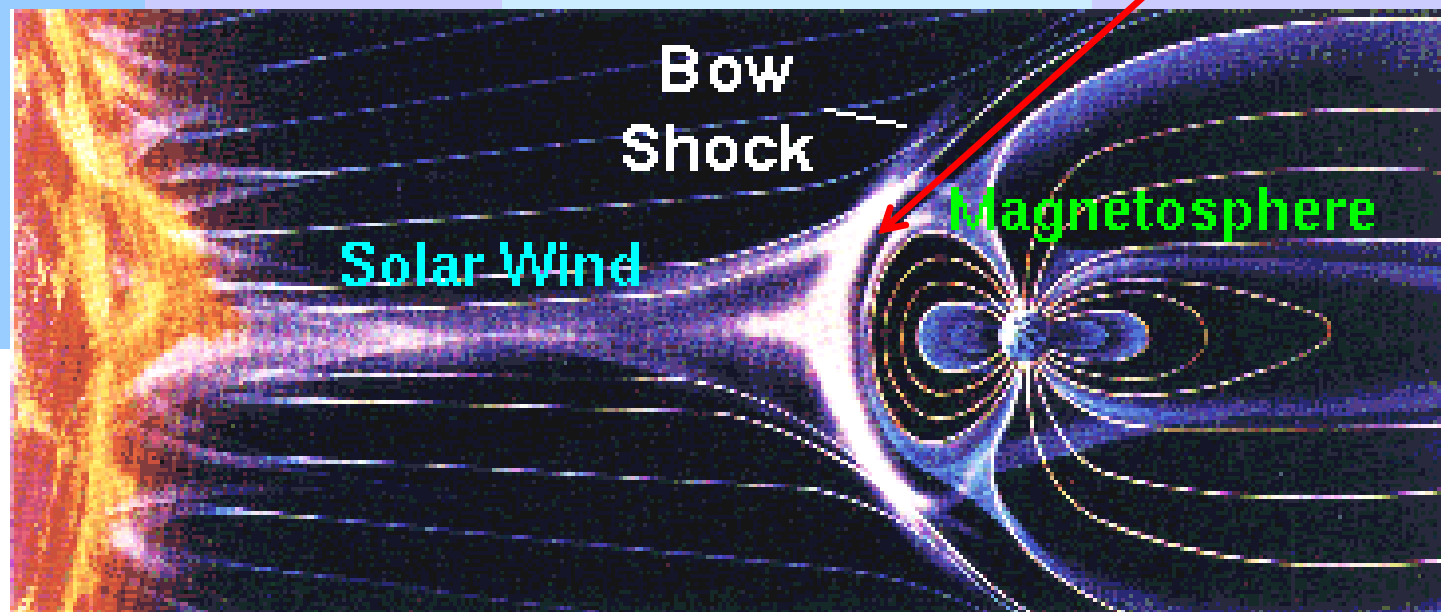


# Campo Magnético Terrestre

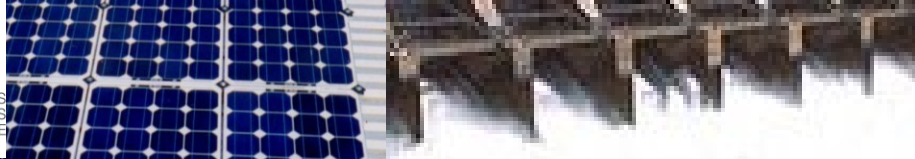
- Viento solar: Gases ionizados que vienen del sol a 400Km/s
- Varían con la actividad de la superficie solar

Fuerza de Lorentz

$$\vec{F} = q\vec{u} \times \vec{B}$$

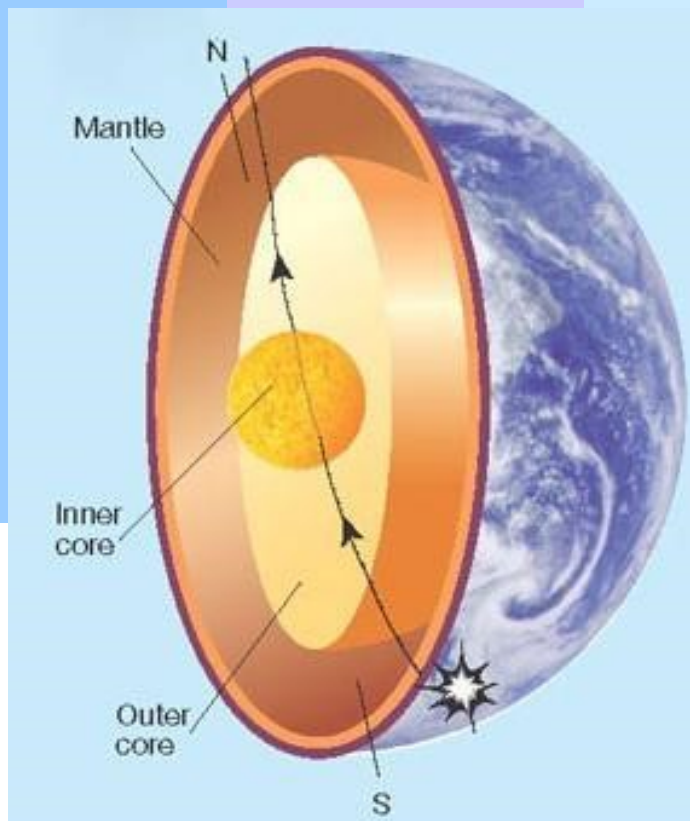


Fuente: National Geophysical Data Center, USA

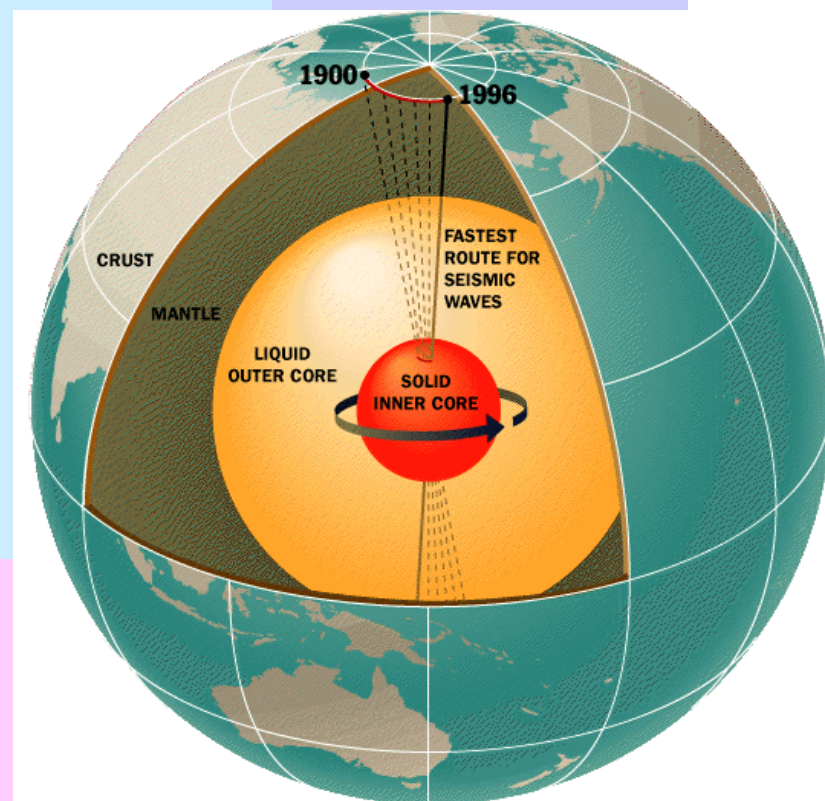


# Campo Magnético Terrestre

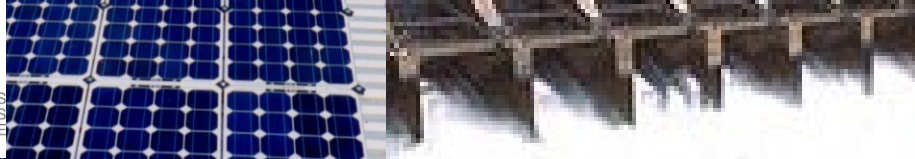
## Estudio del núcleo



## Anisotropía y super-rotación







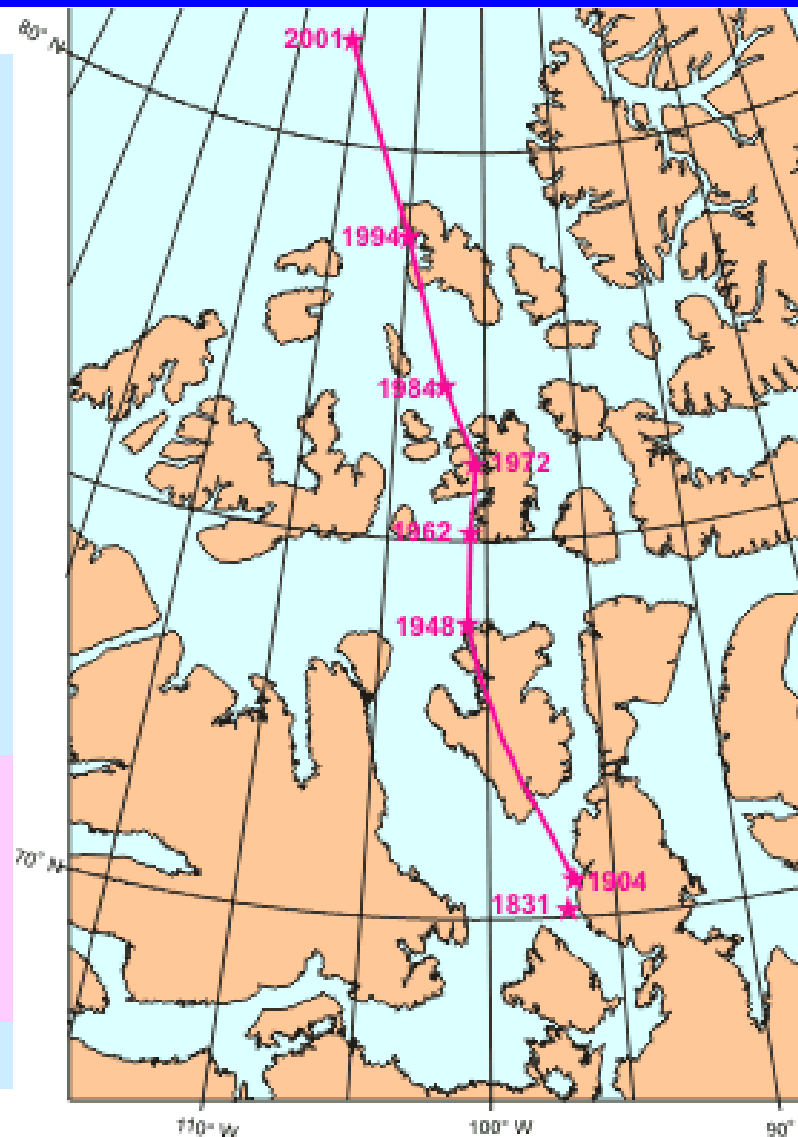
# Campo Magnético Terrestre

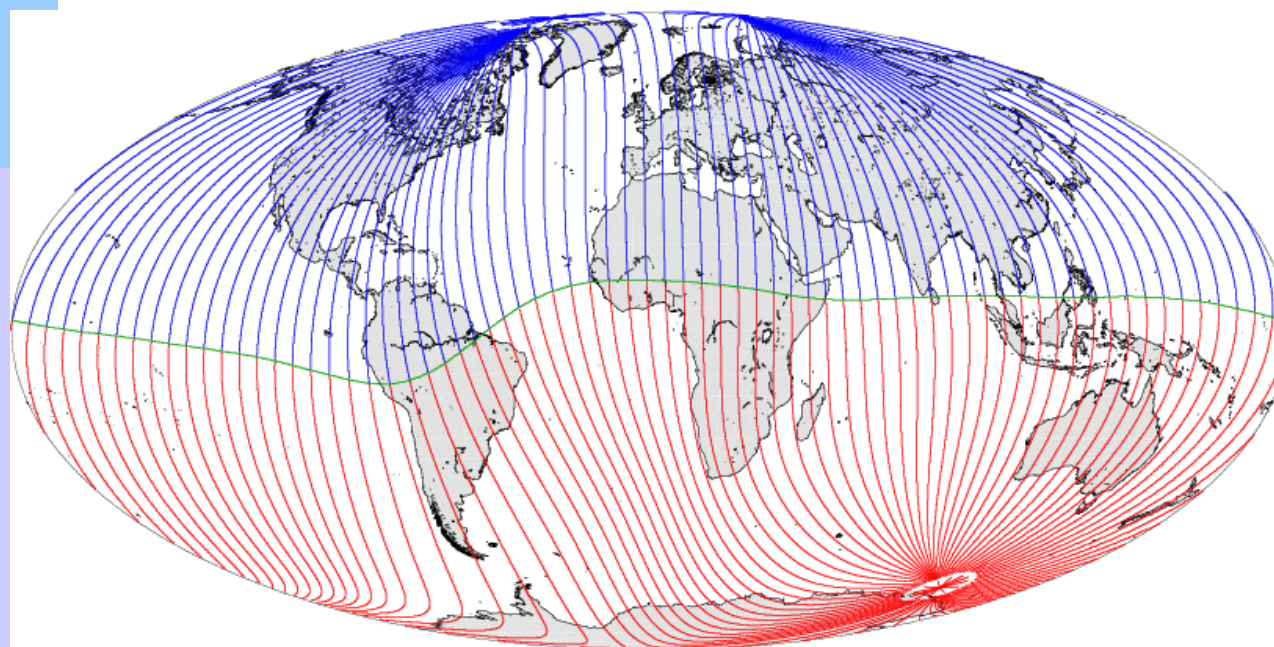
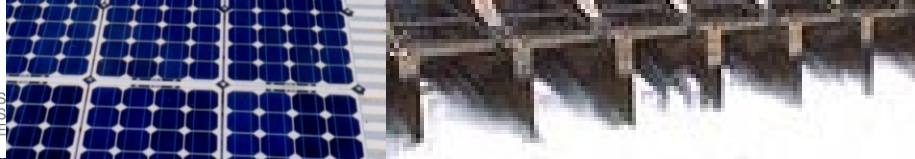
Movimiento del polo norte magnético en el  
Artico de Canadá en el periodo 1831-2001.  
Fuente: Geological Survey of Canada.

Se mueve 40 km cada año, approx.

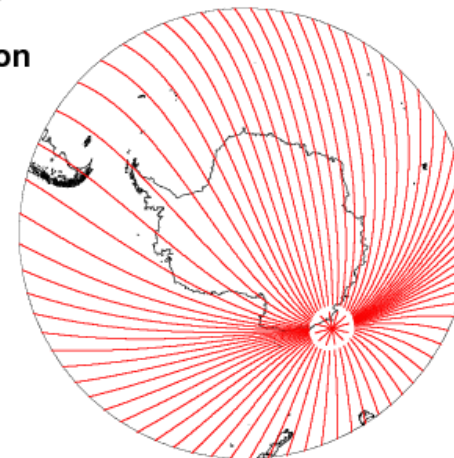
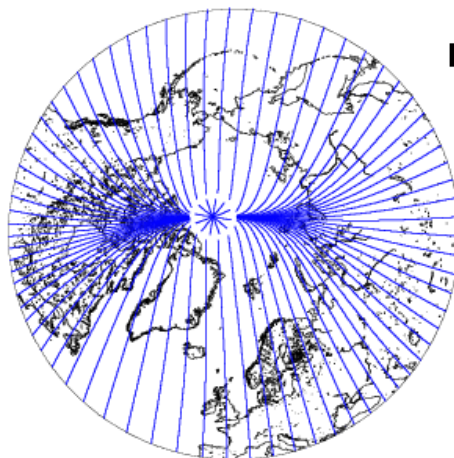
Ultimamente se mueve crecientemente mas  
rápido.

La última vez que el polo magnético se  
cambio al otro lado de la tierra fue hace  
780.000 años

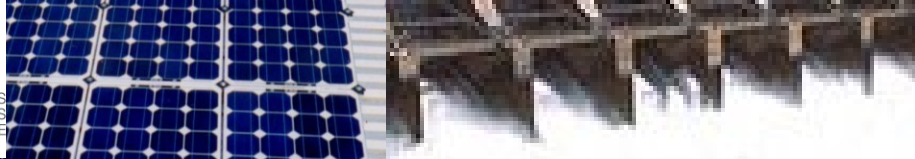




**Magnetic Field Direction  
2010**

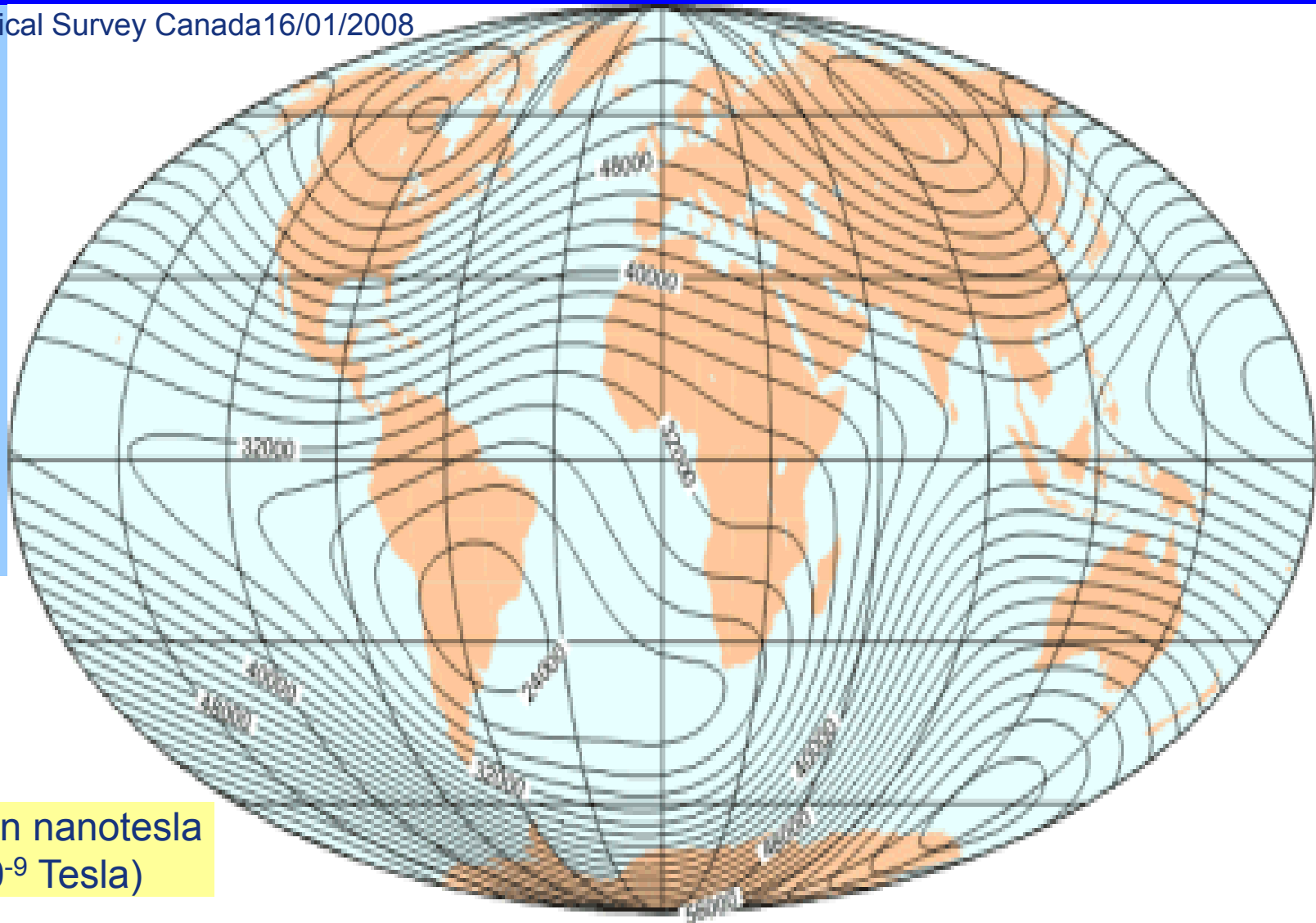


<http://geomag.org>, 2008



# Campo Magnético Terrestre

Fuente: Geological Survey Canada 16/01/2008



Medido en nanotesla  
 $1 \text{ nT} = 10^{-9} \text{ Tesla}$